

UNIVERSIDADE TECNOLÓGICA FEDERAL DO PARANÁ

HERACTO MYCHAJLÓ CHRUSCINSKI VOIGT

**USO DO MICROCONTROLADOR ESP32 PARA MONITORAMENTO E OPERAÇÃO
DE UM INVERSOR DE FREQUÊNCIA VIA REDE WI-FI.**

MEDIANEIRA

2022

HERACTO MYCHAJLÓ CHRUSCINSKI VOIGT

**USO DO MICROCONTROLADOR ESP32 PARA MONITORAMENTO E OPERAÇÃO
DE UM INVERSOR DE FREQUÊNCIA VIA REDE WI-FI.**

**Using the Esp32 microcontroller for monitoring and operating a frequency inverter
via a Wi-Fi Network.**

Trabalho de conclusão de curso de graduação apresentado como requisito para obtenção do título de Bacharel em Engenharia Elétrica da Universidade Tecnológica Federal do Paraná (UTFPR).

Orientador: Leandro Antonio Pasa.

MEDIANEIRA

2022



[4.0 Internacional](https://creativecommons.org/licenses/by-nc/4.0/)

Esta licença permite remixe, adaptação e criação a partir do trabalho, para fins não comerciais, desde que sejam atribuídos créditos ao(s) autor(es). Conteúdos elaborados por terceiros, citados e referenciados nesta obra não são cobertos pela licença.

HERACTO MYCHAJLÓ CHRUSCINSKI VOIGT

**USO DO MICROCONTROLADOR ESP32 PARA MONITORAMENTO E OPERAÇÃO
DE UM INVERSOR DE FREQUÊNCIA VIA REDE WI-FI.**

Trabalho de Conclusão de Curso de Graduação
apresentado como requisito para obtenção do
título de Bacharel em Engenharia Elétrica da
da Universidade Tecnológica Federal do Paraná
(UTFPR).

Data de aprovação: 25/novembro/2022

Leandro Antonio Pasa
Doutorado
Universidade Tecnológica Federal do Paraná

Alex Lemes Guedes
Mestrado
Universidade Tecnológica Federal do Paraná

Amauri Massochin
Mestrado
Universidade Tecnológica Federal do Paraná

MEDIANEIRA

2022

Dedico esse trabalho a Universidade por ter disponibilizado todo o conhecimento que jamais teria alcançado se não tivesse passado por ela.

AGRADECIMENTOS

A Deus por tudo, a minha Mãe e ao meu Pai por toda a ajuda disponibilizada, ao professor Leandro pela excelente orientação, ao professor Alex pela ajuda com o trabalho, ao Victor pela disponibilização dos laboratórios nos finais de semana, e principalmente ao meu grande amigo e colega de universidade André, pelo auxílio em todo o processo de elaboração do trabalho.

Se eu vi mais longe, foi por estar
sobre ombros de gigantes.
(NEWTON, 1676).

RESUMO

Com o avanço da tecnologia e a necessidade de comunicação cada vez mais rápida entre máquinas, foi desenvolvido o conceito de "Internet das Coisas" (IoT), sendo uma das finalidades, refere-se ao ser humano poder acompanhar o processo sem ter a necessidade de estar próximo ao local para saber o que está acontecendo. Sendo assim foi criada a ideia de sistemas inteligentes para a troca de informações entre dispositivos que estejam conectados em rede. Na indústria, há vários equipamentos em que a troca de informações dos dispositivos acontecem através da rede RS-485, tendo a supervisão e operação do processo limitada a presença humana direta no local, para que as informações sejam repassadas à frente. Com o intuito de apresentar mais flexibilidade e agilidade ao processo de supervisão e operação, o seguinte trabalho desenvolverá um protótipo para a aquisição de dados e operação de dispositivos comumente utilizados na indústria, sendo o dispositivo em questão, um inversor de frequência, através do uso do microcontrolador ESP32 e o desenvolvimento de páginas web através de linguagens de programação como HTML, C e JavaScript para a aquisição de dados e operação do dispositivo por intermédio de uma Interface Homem Máquina (IHM) que esteja conectada na rede Wi-fi. Com a utilização do protocolo de comunicação Modbus na troca de informações entre dispositivos mestre e escravo, além da apresentação dos resultados obtidos na prática durante o seu funcionamento.

Palavras-chave: microcontroladores; controle remoto; monitorização elétrica no ambiente de trabalho; internet das coisas.

ABSTRACT

With the advancement of technology and the need for increasingly faster communication between machines, the concept of "Internet of Things"(IoT) was developed, being one of the purposes, it refers to the human being being able to follow the process without having the need from being close to the place to know what's going on. Therefore, the idea of intelligent systems for the exchange of information between devices that are connected in a network was created. In the industry, there are several pieces of equipment in which the exchange of information from the devices takes place through the RS-485 network, with supervision and operation of the process limited to direct human presence on site, so that the information is passed on to the front. In order to present more flexibility and agility to the supervision and operation process, the following work will develop a prototype for the acquisition of data and operation of devices commonly used in the industry, being the device in question, a frequency inverter, through the use of the ESP32 microcontroller and the development of web pages through programming languages such as HTML, C and JavaScript for the acquisition of data and operation of the device through a Human Machine Interface (HMI) that is connected to the Wi-Fi network. With the use of the Modbus communication protocol in the exchange of information between master and slave devices, in addition to the presentation of the results obtained in practice during its operation.

Keywords: microcontrollers; remote control; electronic monitoring in the work environment; internet of things.

LISTA DE ILUSTRAÇÕES

Figura 1 – Comunicação utilizando o modelo de transmissão diferencial	20
Figura 2 – Planta do projeto	24
Figura 3 – Diagrama de força do Inversor de frequência	27
Figura 4 – Características da Porta RJ45 do Inversor de frequência ATV312	27
Figura 5 – Dados de placa do motor	28
Figura 6 – Microcontrolador EPS32 38 pinos	29
Figura 7 – Esquema para aquisição dos dados do inversor de frequência através da rede Recommendad Standart-485 (RS-485).....	30
Figura 8 – Ilustração do adaptador conector RJ45 vista de cima	31
Figura 9 – Planta do projeto para a comunicação entre inversor de frequência e microcontrolador	32
Figura 10 – Página Web elaborada para ler o status e enviar comandos para o inversor de frequência	41
Figura 11 – Página Web com as três opções de ação para comando	42
Figura 12 – URL's dos comandos enviados para o inversor de frequência.....	42
Figura 13 – Página web interagindo com o inversor de frequência durante a operação do motor	43
Figura 14 – Planta do projeto com o periférico Realtime Clock (RTC) acoplado.....	44
Figura 15 – Gráfico de consumo da corrente do motor em relação ao tempo.....	47
Figura 16 – Gráfico de consumo em kVAh do motor	47
Figura 17 – Dados extraídos em relação a data e hora.....	48
Figura 18 – Protótipo	49
Figura 19 – Exemplo de uso do conversor online	56
Figura 20 – Exemplo Deslocamento de bits	56
Figura 21 – Menu de configuração	58
Figura 22 – Submenu de configuração Example Configuration	58
Figura 23 – Página 10 do manual	83
Figura 24 – Funções Modbus inversor de frequência.....	85
Figura 25 – Dados das Funções Modbus inversor de frequência	85
Figura 26 – Eta Status Inversor de frequência	87
Figura 27 – Registrador de Status inversor de Frequência.....	87

LISTA DE QUADROS

Quadro 1 – Formato da mensagem em Modbus RTU.....	22
Quadro 2 – Ajustes dos parâmetros do inversor para comunicação Modbus.....	33
Quadro 3 – Formato da mensagem Modbus RTU.....	35
Quadro 4 – Frame para STATUS.....	36
Quadro 5 – Frame para comando.....	36
Quadro 6 – Frame para Shutdown	37
Quadro 7 – Frame para Switch On.....	37
Quadro 8 – Frame Enable Operation	37
Quadro 9 – Frame para leitura de corrente do inversor de frequência	38
Quadro 10 – Frame para leitura da frequência do inversor de frequência	38
Quadro 11 – Frame para escrita da frequência do inversor de frequência.....	38
Quadro 12 – Frame referente a resposta da mensagem Modbus do inversor de frequência.....	38

LISTA DE ABREVIATURAS E SIGLAS

HTML	HyperText Markup Language
HTTP	HyperText Transfer Protocol
IDE	Integrated Development Environment
IHM	Interface Homem Máquina
IoT	"Internet das Coisas"
IP	Internet Protocol
PEAP	Protected Extensible Authentication Protocol
ROM	Read-Only Memory
RS-485	Recommendad Standart-485
RTC	Realttime Clock
RTU	Remote Terminal Unit
SoC	System On Chip
SRAM	Static Random Acess Memory
TC's	Transformadores de Corrente
TTL	Transistor-Transistor Logic
UART	Universa Asynchronous Receiver/Transmitter
URL	Uniform Resource Locator
USB	Universal Serial Bus
VCS	Sistema de Contrele de Versão
WPA	Wi-Fi Protected Access
WPA2	Wi-Fi Protected Access 2
WPS	Wi-Fi Protected Setup

SUMÁRIO

1	INTRODUÇÃO	13
1.1	Objetivos	13
1.1.1	Objetivo geral	13
1.1.2	Objetivos específicos	13
1.2	Justificativa	15
2	REFERENCIAL TEÓRICO	16
2.1	Aquisição de dados	16
2.2	Microcontrolador ESP 32	16
2.3	Ambientes de desenvolvimento	17
2.3.1	Linguagens de programação	18
2.3.2	Rede RS-485.....	19
2.3.3	Protocolo Modbus RTU	20
3	MATERIAIS E MÉTODOS	23
3.1	Tipo de pesquisa	23
3.2	Planta do projeto	23
3.3	Comunicação	23
3.4	Microcontrolador	24
3.5	Conversor de dados	24
3.6	Página web	24
3.7	Armazenamento de dados	24
3.8	Execução do trabalho	25
4	RESULTADOS	26
4.1	Componentes	26
4.1.1	Inversor de frequência.....	26
4.1.2	Motor	27
4.1.3	Microcontrolador	28
4.1.4	Periféricos.....	28
4.2	Montagem da planta	29
4.3	Ajuste dos parâmetros do inversor	32
4.4	Comunicação	33

4.4.1	Mensagem Modbus.....	35
4.5	Conexão com a internet.....	39
4.5.1	Página Web dados de leitura e escrita.....	40
4.5.2	Página Web Gráficos.....	43
5	CONCLUSÕES E TRABALHOS FUTUROS.....	50
	REFERÊNCIAS.....	52
	APÊNDICE A - EXEMPLO ELABORADOS PELO AUTOR.....	55
	APÊNDICE B - CONFIGURAÇÃO PARA SE CONECTAR NA REDE WI-FI DA UNIVERSIDADE.....	57
	APÊNDICE C - CÓDIGO.....	59
	ANEXO A - FLUXOGRAM PARA ACIONAMENTO DO INVERSOR DE FREQUÊNCIA.....	82
	ANEXO B - FUNÇÕES MODBUS INVERSOR DE FREQUÊNCIA.....	84
	B.1 Supervisão e controle em modo de linha.....	85
	ANEXO C - STATUS INVERSOR DE FREQUÊNCIA.....	86
	C.1 Status Word.....	87

1 INTRODUÇÃO

Com o avanço da tecnologia e a possibilidade de comunicação em tempo real com os dispositivos tecnológicos, as industriais entraram em uma nova etapa, a indústria 4.0, pois, a operação e supervisão remota de processos vem ganhando cada vez mais espaço no mercado de trabalho pela praticidade e flexibilidade que oferecem. No qual, também, abrange um conjunto de tecnologias de ponta ligadas à Internet com o objetivo de tornar os sistemas de produção mais flexíveis e colaborativos (SANTOS *et al.*, 2018).

O termo IoT é um modelo recente na história da tecnologia, porém, o mesmo está sendo levado muito em consideração no decorrer dos últimos anos. A IoT pretende tornar os sistemas mais inteligentes para automação e troca de informações entre dispositivos conectados emrede, ou também, para auxiliar um ser humano a fazer escolhas mais bem informadas com ajuda dos dados disponibilizados pelo próprio dispositivo (RIBEIRO, 2019).

Diante da necessidade de acompanhar os avanços tecnológicos ao redor do mundo, o seguinte trabalho propõe fazer um protótipo para a aquisição de dados e atuação de dispositivos comumente usados em uma indústria, sendo o objeto de interesse do trabalho um inversor de frequência, através de uma rede Wi-fi.

1.1 Objetivos

1.1.1 Objetivo geral

Desenvolver um protótipo para um sistema de monitoramento e atuação de dispositivos industriais em painéis elétricos via Wi-fi.

1.1.2 Objetivos específicos

Os objetivos específicos deste trabalho consistem nos seguintes tópicos listados abaixo:

- Utilizar o microcontrolador ESP32 para a comunicação wi-fi com o inversor de frequência;
- Realizar a aquisição de dados do inversor de frequência a partir da rede

RS-485 através do protocolo de comunicação modbus *Remote Terminal Unit* (RTU).

- Implementar um sistema de banco de dados para armazenar as informações de operação do inversor de frequência;
- Criar páginas web a fim de disponibilizar os dados para monitoramento e ser possível a operação do inversor de frequência.

1.2 Justificativa

Ter a possibilidade de monitorar e operar os equipamentos industriais de maneira descentralizada sem a necessidade de estar na sala de comando ou em frente ao quadro elétrico.

2 REFERENCIAL TEÓRICO

2.1 Aquisição de dados

A obtenção de dados, de maneira geral, é feita através de periféricos que tem como objetivo medir a grandeza física para qual foram projetados, podendo citar alguns exemplos como Transformadores de Corrente (TC's) que são responsáveis por ficar apresentando os valores de corrente no condutor em tempo real (KONZEN, 2019), ou o termostato, que é responsável pelo monitorando da temperatura (SILVA, 2000). Assim também, um RTC no qual é responsável exclusivamente por gerar dados de tempo, como segundos, minutos, horas, dia, mês e ano (INTEGRATED, 2015).

A coleta e armazenamento de dados apresentados pelos sensores podem ser feitas através de um sistema de aquisição de dados. Comercialmente existem modelos de baixo custo para a aquisição de dados, como Raspberry Pi, Arduino e placas da família ESP. Entre as principais aplicações em que estas plataformas podem ser utilizadas estão aquelas voltadas para controle, IoT e sistemas de monitoramento (PONTES, 2021).

2.2 Microcontrolador ESP 32

O ESP32 é um microcontrolador, com uma plataforma de protipagem com n pinos, o número de pinos irá depender do modelo. O microcontrolador tem disposição de comunicação à distância, como Bluetooth e Wi-fi. Possui baixo consumo de energia elétrica e permite desenvolver aplicações de acesso remoto com a disponibilidade de armazenamento em nuvens, banco de dados, monitoramento e atuação em tempo real de dispositivos (MIRANDA, 2019).

O Microcontrolador é bem maleável, interativo e tem a disponibilidade de ser programado diretamente em qualquer *Integrated Development Environment* (IDE) de preferência do usuário, com a opção de utilizar diversos *Shields* e sensores comumente usados na eletrônica (PONTES, 2021).

O Módulo ESP32 WROOM 32 DEV KIT já possui um regulador de tensão de 3,3V, botões com a opção de reset e load, além de possuir também um conector micro-*Universal Serial Bus* (USB) e um *chip* de interface Serial-USB. A quantidade

de pinos disponíveis para uso são de 38 pinos, no qual cada pino tem uma função específica (MURTA, 2018a).

No geral, os novos modelos de microcontroladores da família ESP32 na versão 4.0 possuem 448 KB de *Read-Only Memory* (ROM) para inicialização e funções principais, 520 KB de *Static Random Access Memory* (SRAM) no chip, para dados e instruções, além de possuir um RTC interno com disponibilidade de 16 KB de SRAM na memória (ESPRESSIF, 2020).

2.3 Ambientes de desenvolvimento

A IDE é um ambiente de desenvolvimento integrado (SOUZA, 2021), possui vários recursos para deixar a codificação mais simplificada, pois englobam vários conjuntos de ferramentas de desenvolvimento de *software*, como, editor de código, compilador, depurador e vários outros recursos, tudo em um único ambiente de desenvolvimento (LIMA, 2022).

O Visual Studio Code é uma IDE criada pela Microsoft especialmente dedicada para as linguagens de programação C (CARDENAS; JURASK, 2019), suporta a criação de *softwares*, testes, análise da performance de códigos, *debug* entre várias outras funções, além de fazer uso do Bower, o que permite o controle de *frameworks* e bibliotecas relacionados ao JavaScript (PELLIZZONI, 2016).

O ESP-IDF é um *Framework* de desenvolvimento de IoT, ou seja, um conjunto que engloba bibliotecas, programas, compiladores e todos os recursos necessários para o desenvolvimento de uma aplicação. A IDF foi elaborada pela ESPRESSIF que é a estrutura oficial de desenvolvimento para os *System On Chip* (SoC)s das séries ESP32, ESP32-S e ESP32-C (ESPRESSIF, 2022). O *Framework* se destaca por ser totalmente gratuito e com a plataforma *open source*, tendo melhorias de maneira contínua e aumentada, abrange vários exemplos de aplicações e aproveita todos os recursos de *software* e *hardware* da família ESP32, sendo a linguagem de uso para a programação, a linguagem C. A grande vantagem é que no GitHub elaborado para essa IDF possível encontrar suportes para problemas relacionados com o *software* ou *hardware* (MURTA, 2018a).

O GitHub é uma ferramenta muito popular designada para engenheiros de *softwares*, acomodando mais de 25 milhões de usuários. No geral o GitHub é um serviço com base em nuvem que hospeda um Sistema de Controle de Versão (VCS)

denominado Git. O que permite que os desenvolvedores colaborem e façam as mudanças em projetos que estejam compartilhados, enquanto assim, todo o registro desse processo se mantém detalhado durante o seu progresso (ANDREI, 2022).

Existem vários exemplos prontos de códigos com funcionalidades específicas disponibilizados no GitHub, permitindo que a comunidade entusiasta e técnica possa colaborar no seu desenvolvimento, com o objetivo de facilitar a criação de novas extensões e novas funcionalidades (EDSON, 2016).

O uso do ESP32 na inserção dos dispositivos no contexto de IoT foi apresentado em autores como (PONTES, 2021) e (MIRANDA, 2019). E o uso de exemplos retirados diretamente do GitHub para ser utilizado na programação do microcontrolador ESP 32, foi apresentado em trabalhos como (PELLIZZONI, 2016).

2.3.1 Linguagens de programação

A linguagem de programação C é utilizada por diversos tipos de sistemas operacionais e não possui uma área de desenvolvimento que seja totalmente específica para ela, entretanto, a sua difusão aconteceu devido a dar fácil acesso a parte física das máquinas, trabalhando muito bem em conjunto com os *hardwares*, o que possibilita ter acessibilidade a direta programação em microprocessadores e durante a transferência de um código de uma máquina para outra, na maioria dos casos, o código não irá precisar sofrer alterações (CARDENAS; JURASK, 2019).

A linguagem de programação Java se caracteriza por ser uma linguagem de programação de alto nível com a vantagem de ser portátil para diversos sistemas operacionais, sendo também, ótima para a aplicação e desenvolvimento de aplicativos que estejam relacionados com a *internet* devido a facilidade em trabalhar com protocolos de uso remoto como o *HyperText Transfer Protocol* (HTTP) (MARAFON, 2006). Ela tem facilidade para trabalhar com programações que necessitem ser orientadas à objetos, além de ser uma multiplataforma, o que faz com que linguagem represente muito fielmente o que acontece na vida real (CARDENAS; JURASK, 2019).

A linguagem *HyperText Markup Language* (HTML) é usada para descrever documentos de uso na *web*, com a característica de usar Tags para distinguir elementos de textos, *hiper-linkslinks*, multimídia, entre outros. Quando o usuário abre uma página ao acessar a *internet*, ele tem disponibilidade das informações

HTML, pois o navegador processa as informações contidas no documento e mostra o resultado final na tela (SILVA, 2011).

A linguagem HTML é bastante usada em conjunto com o javascript, afim de deixar a página HTML mais dinâmica, pois o javascript tem maior rapidez em executar as informações e criar mais *tags* HTML sem ter a necessidade do navegador ser atualizado (SILVA, 2011).

2.3.2 Rede RS-485

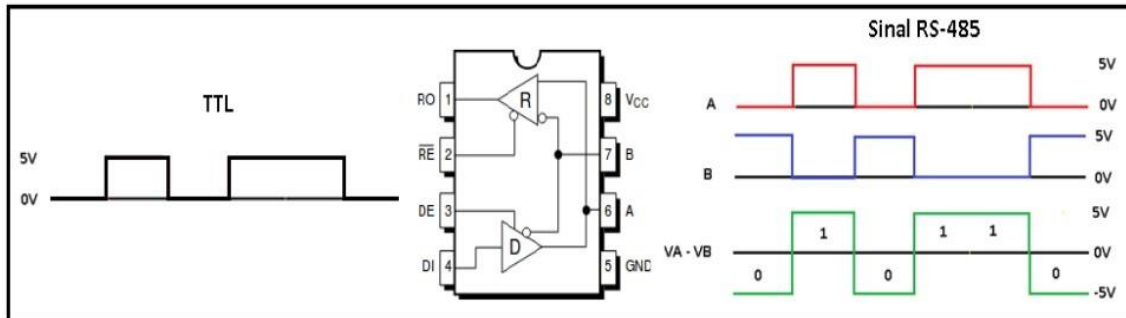
A RS-485 é um padrão da camada física de comunicação, e a principal característica da rede RS-485 é a sua capacidade de atenuação de ruídos (GADELHA, 2019).

O ambiente industrial é bem severo em relação a interferências eletromagnéticas, por isso, a rede RS-485 é amplamente utilizada para a transferência de dados nesses locais (SOUZA, 2005).

Outra vantagem está na capacidade de conectar vários equipamentos em apenas um barramento através das conexões multipontos. Adotar essa estratégia de ligação faz com que a informação fique centralizada em um único dispositivo, o que possibilita a comunicação entre diversos equipamentos conectados na rede. A sua limitação é de até 32 dispositivos conectados na rede, podendo ser um dispositivo mestre e 31 dispositivos escravos (MIRANDA, 2019).

A comunicação entre o microcontrolador ESP32 com a rede RS-485 necessita de um periférico para fazer a conversão dos níveis lógicos de tensão adequados de ambos os dispositivos, para que haja a troca de informações. A figura 1 apresenta a conversão dos protocolos TTL para a rede RS-485 através do chip MAX 485.

Figura 1 – Comunicação utilizando o modelo de transmissão diferencial



Fonte: Gadelha (2019)

O chip MAX 485 é um componente existente dentro do CDT11, que é um conversor bidirecional de dados TTL para o protocolo RS485. O seu modo de funcionamento durante a transmissão de dados acontece através de dois fios denominados de A e B, e por meio de suas polaridades eles determinam qual será o nível lógico da rede. Sendo o dispositivo intermediário no processo de aquisição de dados.

O padrão RS-485 não recomenda a utilização de protocolos desenvolvidos em *softwares*, entretanto, o meio industrial utiliza o protocolo Modbus RTU para a comunicação entre os dispositivos.

2.3.3 Protocolo Modbus RTU

Os protocolos são sistemas desenvolvidos por algoritmos com instruções bem definidas para executar uma tarefa (RIOS, 2012). O protocolo Modbus RTU utiliza um arranjo mestre/escravo no processo de comunicação com os dispositivos conectados na rede.

O protocolo tem uma comunicação serial assíncrona, sendo possível ter um único dispositivo mestre, geralmente um computador, e um único dispositivo escravo para que a troca de informações e a conexão da rede seja estabelecida.

O equipamento designado como mestre irá iniciar e finalizar as solicitação de comunicação com o escravo. Que, por sua vez, a limitação máxima de dispositivos RS-485 no barramento depende das unidades de cargas de cada dispositivo, o que varia entre 32 e 256, se desconsiderar o aumento de carga causado pelos resistores de BIAS.

O mestre também responsável por obter as informações dos dispositivos escravos, além da capacidade de gravar nos seus registros.

Os dispositivos que possuem o padrão de meio físico RS-485 normalmente podem fazer uso do padrão de comunicação RTU.

A maneira que se inicia a transmissão irá definir a codificação da informação transmitida. Ao usar o modo de transmissão RTU em uma linha de transmissão serial MODBUS, os dispositivos se comunicam através de mensagens formadas por *bytes*. Cada *byte* em uma mensagem possui dois caracteres hexadecimais e o seu formato é designado de *frame*, sendo composto por 8 *bits* de dados, 1 start *bit*, 1 *bit* de paridade e 1 stop *bit*, ou 2 stop *bits* quando não há *bit* de paridade (PONTES, 2021). Para checar se a mensagem que foi recebida é a mesma que foi enviada é utilizado o CRC.

O CRC é uma mensagem binária que verifica se realmente o receptor recebeu a informação correta. Caso aconteça alguma falha, a mensagem recebida não será a mesma da enviada.

O CRC-16 é um código atualizado para verificação de erros em transmissão de dados (SALERNO *et al.*, 2005). Esse código oferece uma taxa de precisão de 99,997% e o seu funcionamento se baseia em cálculos ao deslocar os *bits* em OU-Exclusivo de uma determinada palavra de código binário. Quando a mensagem é transmitida pelo mestre ou pelo escravo, o CRC é concatenado à mensagem, ao chegar no dispositivo receptor, novamente é submetido a cálculos para a verificação. Caso esteja incorreta uma mensagem de erro é enviada. Esse processo garante uma comunicação de confiança entre o *software* e o *hardware*

Os dispositivos Modbus utilizam na sua comunicação quatro tabelas de dados para facilitar a comunicação entre si.

O Modo RTU é caracterizado por ordenar uma faixa de tempo para o começo e término da mensagem, em vez de usar caracteres especiais para essa finalidade. O monitoramento dos escravos consiste em estar esperando por um tempo que pode variar de 3 a 5 *bytes* transmissores de silêncio (T1-T2-T3-T4) (CUNHA, 2000) logo para o início e término da mensagem, ao decorrer desse intervalo, o dispositivo consegue identificar que os próximos dados serão de endereço do destinatário acompanhado pelo restante da mensagem, até a repetição do intervalo ocorrer novamente. A Tabela 1 mostra um exemplo do formato da

mensagem do Modbus em RTU.

Quadro 1 – Formato da mensagem em Modbus RTU

INÍCIO	ENDEREÇO	FUNÇÃO	DADOS	CRC	FIM
T1,T2,T3,T4	8 BITS	8 BITS	N X 8 BITS	16 BITS	T1,T2,T3,T4

Fonte: Adaptado de Cunha (2000)

Em resumo, para manter uma comunicação eficaz entre mestre e escravo, é necessário que os parâmetros estejam bem definidos, como o formato dos caracteres, taxa de transmissão e principalmente o ID do escravo. Se houver uma incompatibilidade dentro desses parâmetros, ocorrerá falhas no processo de comunicação.

3 MATERIAIS E MÉTODOS

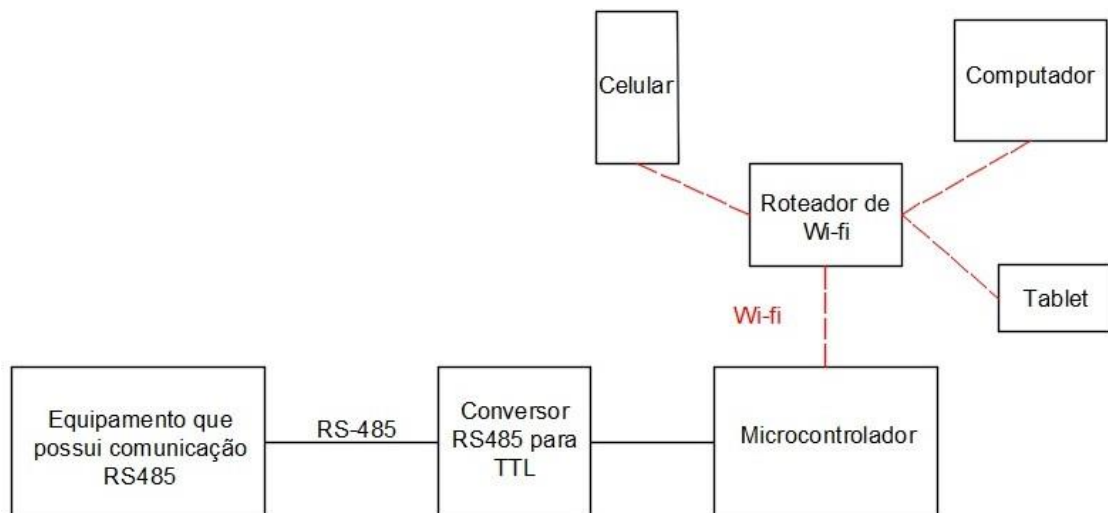
3.1 Tipo de pesquisa

O tipo de pesquisa nesse trabalho se constituirá da pesquisa aplicada, pois o objetivo é a aplicação imediata do conhecimento na resolução prática de um desafio envolvendo processos de acionamento de um motor e aquisição de dados referente a seu funcionamento de maneira remota.

3.2 Planta do projeto

A ideia básica da planta é poder extrair informações e mandar comandos para um inversor de frequência que possua comunicação RS-485, afim de controlar e obter dados de um motor trifásico, via Wi-fi. Através de uma IHM por intermédio do microcontrolador ESP32, como observa-se na Figura 2. O inversor de frequência que será utilizado é o Altivar 312, cujo código produto é ATV312H075M2.

Figura 2 – Planta do projeto



Fonte: Autoria própria (2022)

3.3 Comunicação

A comunicação utilizará o protocolo Modbus RTU e os comandos de leitura e escrita serão enviados por intermédio de uma página *web*. O meio físico de comunicação com o inversor de frequência se dará através da rede RS-485 e

dependerá de um conversor de sinal bidirecional para poder enviar e receber as mensagens. Convertendo o sinal da rede RS-485 para a rede *Transistor-Transistor Logic* (TTL) e de TTL para RS-485.

O microcontrolador ESP32 não consegue implementar a rede RS-485 diretamente sem a ajuda do periférico de conversão.

3.4 Microcontrolador

O microcontrolador que será utilizado no projeto de pesquisa é o ESP32. A programação do componente será feita utilizando a linguagem de programação C. Ele se tornará um servidor e fornecerá uma página *web* ao obter um endereço IP do roteador que ele se conectar, com isso qualquer dispositivo com acesso ao Wi-fi da rede local poderá ter acesso aos dados fornecidos pelo inversor de frequência, desde que possua o endereço da página para acessá-la.

3.5 Conversor de dados

O conversor que será utilizado é o CDT11, pois possui a propriedade de conversão bidirecional. Sendo um componente relativamente barato e de fácil acesso.

O CDT11 faz a conversão dos níveis de tensão do microcontrolador para níveis adequados de tensão da rede RS-485. Os pinos de entrada/saída que serão utilizados para se comunicar com o microcontrolador são: RXD;TXD;GND e VCC e os pinos de saída/entrada que serão utilizados para se comunicar com o elemento escravo são: A;B e GND.

3.6 Página web

A página *web* será disponibilizada através do próprio microcontrolador, ao gerar um endereço IP quando utilizar o roteador como meio de conexão Wi-fi.

Os dispositivos que estiverem conectados na rede Wi-fi poderão acessar os dados e enviar comandos a partir da *Uniform Resource Locator* (URL) definida pelo programador.

A página *web* será desenvolvida principalmente com a linguagem HTML e

JavaScript, e disponibilizará três URL's para acesso, sendo uma com a possibilidade de ligar o motor no sentido direto de giro, assim como no sentido reverso, desligar o motor e fornecer dados de corrente, frequência de operação e *status* de funcionamento (ON/OFF). A segunda página *web* fornecerá dados da maior corrente utilizada em relação ao tempo e a terceira fornecerá dados de consumo do motor em KVAh.

3.7 Armazenamento de dados

Os dados poderão ser verificados através dos gráficos e estarão no histórico de execução do terminal do Visual Code Studio conforme o programa estiver sendo executado. A cada leitura que o inversor de frequência fizer, os dados estarão aparecendo em formato de texto e separados por ";", afim de auxiliar na identificação dos mesmos. Referente aos dados de tempo, o microcontrolador estará obtendo eles através do seu RTC interno, após ter sido configurado com o auxílio de um RTC externo pela primeira vez, cuja a principal finalidade do RTC externo é contabilizar dados de tempo, no trabalho será contabilizado dados de segundos, minutos, horas, dia, mês e ano.

3.8 Execução do trabalho

A primeira parte do trabalho mostrará todo o processo para tornar possível a interação do microcontrolador com o inversor de frequência através de uma página *web* ao utilizar o protocolo de comunicação modbus para ler e escrever as informações de interesse.

A segunda parte e final do trabalho mostrará a criação de gráficos em relação ao tempo com o auxílio de um RTC externo e o RTC interno do microcontrolador.

4 RESULTADOS

4.1 Componentes

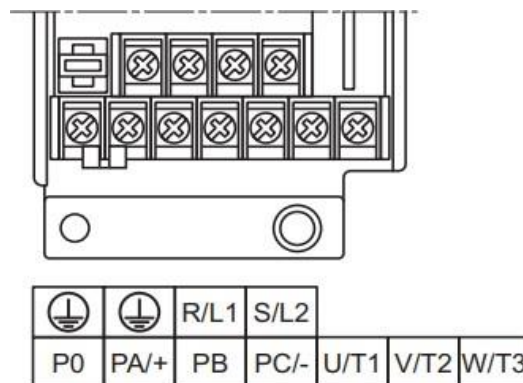
4.1.1 Inversor de frequência

O inversor de frequência utilizado é o Altivar 312, os modelos são projetados para motores trifásicos com potência entre 0.18 a 15kW, para esse projeto, o modelo em uso é o ATV312H075M2 no qual é indicado para motores com potência de saída de placa de até 1CV ou 0,75kW.

A alimentação do inversor de frequência para o seu funcionamento adequado está entre as faixas de tensões de 200V-240V. A energização do componente em uma rede 110/127V se dá através de duas fases e a saída do inversor devolve para o motor uma alimentação trifásica em 220V, possibilitando o funcionamento de motores trifásicos.

O diagrama para alimentação do inversor de frequência pode ser observado figura 3.

Figura 3 – Diagrama de força do Inversor de frequência

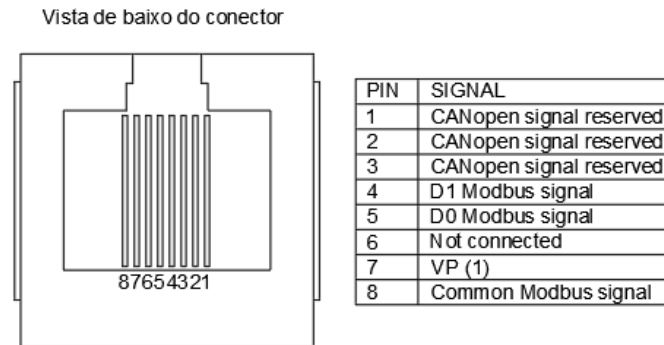


Fonte: Schneider (2016)

A energização do inversor de frequência é através dos bornes R/L1 e S/L2, e a saída através dos bornes U/T1, V/T2 e W/T3. Os demais bornes de força não serão utilizados no desenvolvimento do projeto.

O inversor de frequência também tem a disponibilidade de uma porta RS-485, como observa-se na figura 4.

Figura 4 – Características da Porta RJ45 do Inversor de frequência ATV312



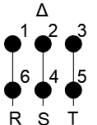
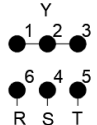
Fonte: Adaptado de Schneider (2009b)

Por meio dessa porta que há a possibilidade de estabelecer a comunicação entre o inversor de frequência e o microcontrolador ESP32 por intermédio de um conector RJ45. Todos os protocolos de comunicação serão enviados pela rede RS-485 e devolvidos para o microcontrolador pela mesma, devido a característica da rede RS-485 ter comunicação bidirecional.

4.1.2 Motor

O motor de uso neste trabalho é um motor trifásico de 0.5CV ou 0.373kW de potência, a sua alimentação será em delta 220V e os dados de placa podem ser observados na figura 5.

Figura 5 – Dados de placa do motor

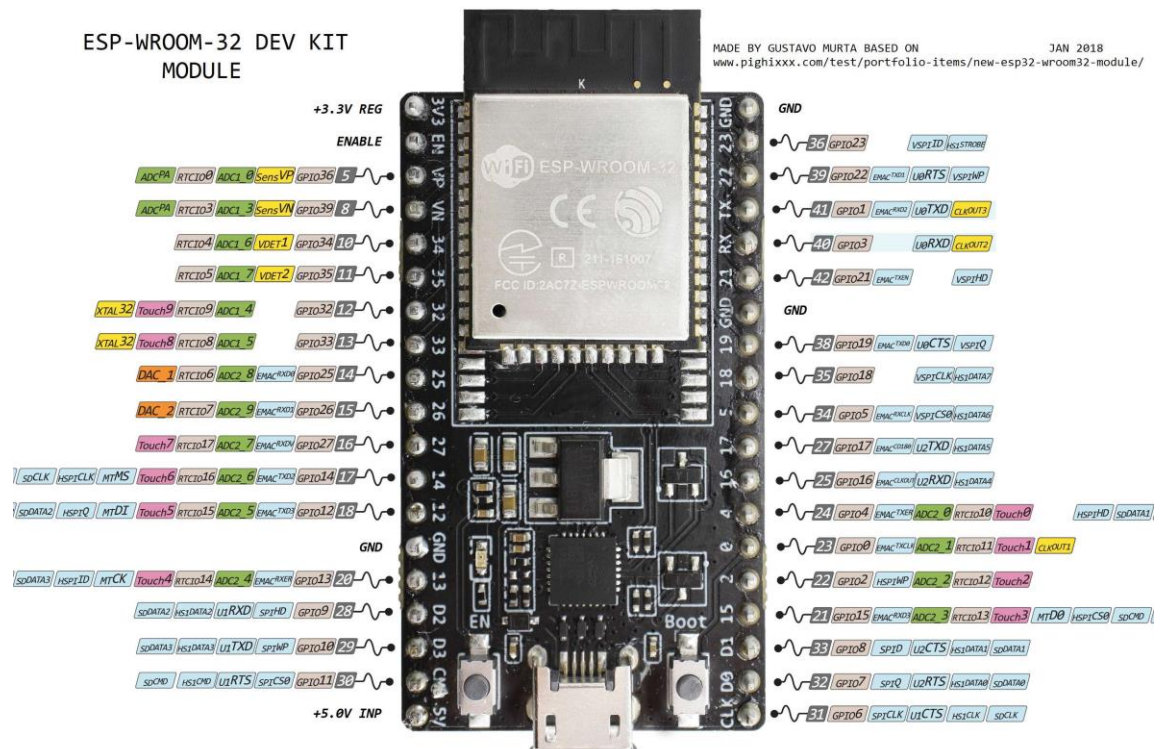
MOTOR DE INDUÇÃO TRIFÁSICO		
MOD 71	1091	60 Hz
0.5 cv		1710 rpm
Δ 220/380V		Δ 2,2/ Y 1,3A
FS 1,25	ISOL B	p/In 5,0
REG.S 1	CAT N	IP 54
Δ  R S T		Y  R S T

Fonte: Autoria própria (2022)

4.1.3 Microcontrolador

O microcontrolador que será utilizado é o ESP32 WROOM 32 DEV KIT, o modelo para o projeto em si conta com 38 pinos e o propósito de cada pino pode ser observado na figura 6.

Figura 6 – Microcontrolador EPS32 38 pinos



Fonte: Murta (2018b)

A sua escolha foi planejada devido a possibilidade da comunicação Wi-fi com outros dispositivos, além também, de ser possível a interação com periféricos comumente utilizados na eletrônica.

4.1.4 Periféricos

DS3231 é um relógio de tempo real extremamente preciso, no qual ele dispõe de uma bateria que ajuda a manter a contagem do tempo mesmo depois que a fonte de alimentação tenha sido interrompida. Ele mantém as informações de segundos, minutos, horas, dia, data, mês e ano guardadas em sua memória, após esses parâmetros terem sido ajustados pela primeira vez pelo programador.

A sua utilização na planta é exclusivamente para configurar uma única vez o RTC interno do microcontrolador.

CDT11 é um conversor de dados da rede TTL para a rede RS-485 e vice-versa, devido ao utilizar o chip MAX485ESA em sua composição. Esse é o conversor que possibilita a comunicação entre o inversor de frequência e o microcontrolador.

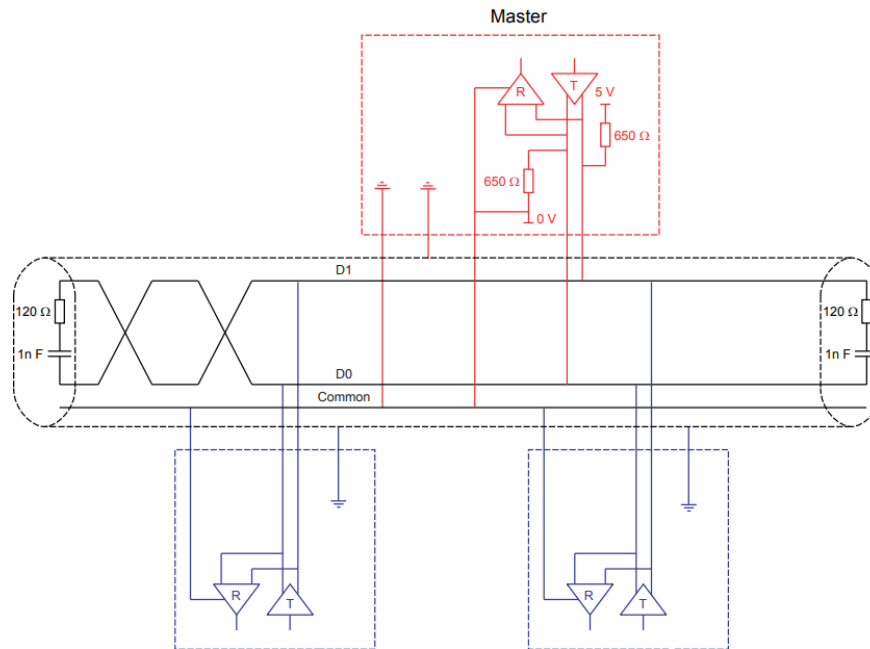
4.2 Montagem da planta

Antes de integrar os componentes da planta do projeto é necessário tomar nota dos pinos do microcontrolador e para que eles serão utilizados em conjunto com os outros componentes, afim de tornar possível todas as interações para garantir uma comunicação correta e eficaz.

O microcontrolador utiliza a comunicação serial, para isso é necessário fazer uso das portas do microcontrolador que possuam a comunicação UART. Para esse projeto foram utilizadas as portas 16 (RX) e 17 (TX), pois para esse tipo de comunicação é necessário apenas dois fios para a transmissão de dados entre duas UARTS, no caso, os dados fluirão do pino TX da UART transmissora para o pino RX da UART receptora.

Ao começar pela aquisição de dados do inversor de frequência é importante levar em consideração como funciona a obtenção desses dados. Inicialmente tudo ocorre através da rede RS-485 pelo conector RJ45 conforme observado na figura 4. O Esquema para a obtenção dos dados do inversor de frequência pode ser visto na figura 7.

Figura 7 – Esquema para aquisição dos dados do inversor de frequência através da rede RS-485

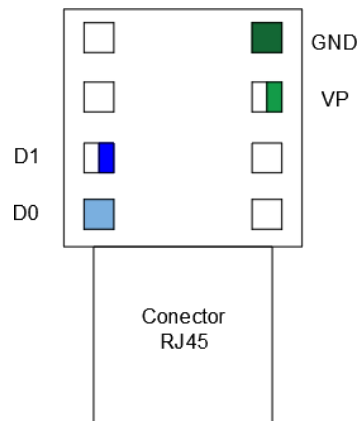


Fonte: Schneider (2009b)

A comunicação entre o microcontrolador e o inversor de frequência utilizará o protocolo de comunicação Modbus RTU, para isso é necessário utilizar dois fios como mostrado na figura 7 o D1 e D0 para a troca simultânea de informações.

Para facilitar a montagem do protótipo foi adquirido um adaptador que possibilita utilizar os fios do conector RJ45 sem precisar modificar o cabo, em outras palavras, não seria necessário cortar o mesmo para separar apenas os fios necessários para a comunicação, mantendo o cabo apto para ser utilizado em outra aplicação a qual não fosse apenas para a execução do projeto. O adaptador faz com que os fios do cabo possam ser utilizados de maneira livre, os pinos de interesse para serem usados como foi mostrado na figura 4, são os pinos 4,5,7,8 respectivamente se referem aos sinais D1,D0,VP e comum ou gnd. Na figura 8 pode-se observar quais sinais dos pinos vão estar em cada borne.

Figura 8 – Ilustração do adaptador conector RJ45 vista de cima



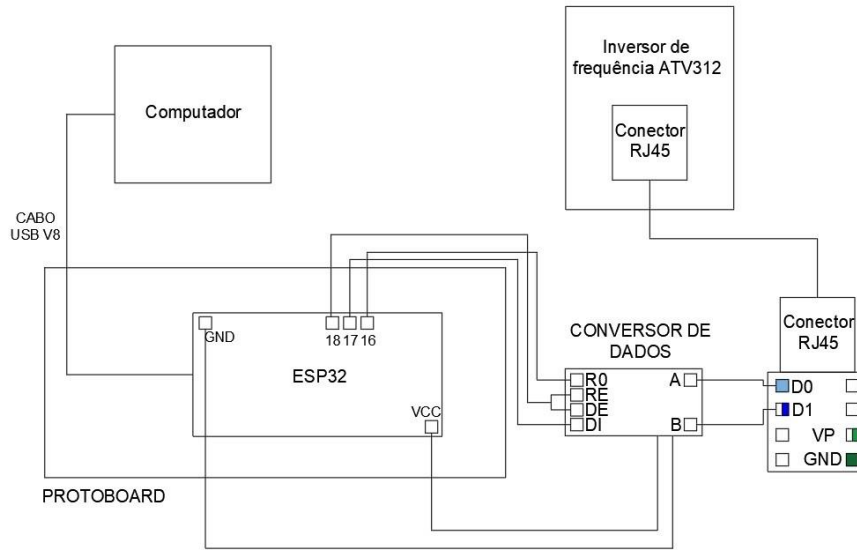
Fonte: Autoria própria (2022)

Tendo em posse os fios D1 e D0 da rede RS-485 é obrigatório que a informação dos mesmos sejam convertidos para a rede TTL, afim de realizar a comunicação serial corretamente. Para isso foi utilizado o conversor de dados com posse do chip MAX485ESA, no qual desempenha esse papel.

Com isso, a comunicação entre o microcontrolador e o inversor de frequência já se torna possível, a montagem da planta ilustrada até esse processo pode ser observada na figura 9. O pino 18 também está em uso, por fazer o controle de fluxo de dados, pois durante a comunicação, dois dispositivos não podem enviar mensagens simultaneamente, o microcontrolador através desse pino alterna o envio e recebimento de dados de maneira automática.

A comunicação com o inversor de frequência utilizará o protocolo de comunicação Modbus RTU, pois o mesmo já incorpora em si esse protocolo, porém antes de programar o microcontrolador para que ele faça comandos de leitura e escrita no inversor de frequência é necessário ajustar os parâmetros do inversor para que ele aceite esse tipo de comunicação.

Figura 9 – Planta do projeto para a comunicação entre inversor de frequência e microcontrolador



Fonte: Autoria própria (2022)

4.3 Ajuste dos parâmetros do inversor

Os parâmetros do inversor podem ser ajustados manualmente através do seu botão de pressão rotativo localizado no centro do dispositivo. Para acessar as configurações basta dar um clique e girar para a opção que você deseja configurar.

A tabela 2 mostra o passo a passo para ajustar o inversor de frequência para ser possível a interação com o microcontrolador através do protocolo de comunicação Modbus.

Quadro 2 – Ajustes dos parâmetros do inversor para comunicação Modbus

Parâmetro	Menu	Opção	Ajuste
Modbus Boud Rate	CON	Add	19.2
Modbus Address	CON	tbr	1
Modbus Format	CON	tfo	8E1
Modbus TimeOut	CON	tto	10s
Ref 1. Channel	Ctl	Fr1	Mdb
Ref 2. Channel	Ctl	Fr2	Mdb
Acess Level	Ctl	LAC	L3
Cmd Channel 1	Ctl	Cd1	mdb
Cmd Channel 2	Ctl	Cd2	mdb
HMI Comand	Ctl	LCC	YES
Summing Ref 2	Fun	SA2	mdb
Summing Ref 3	Fun	SA3	mdb

Fonte: Autoria própria (2022)

Alguns parâmetros poderiam estar ajustados para não ser através da comunicação Modbus, entretando, como a meta é interagir com o inversor de frequência de maneira remota, todos os parâmetros foram ajustados para tal. Há alguns pontos importantes, como a taxa de transmissão de dados (*Boud Rate*), segundo o manual do dispositivo, para comandos provenientes de interfaces remotas, é o obrigatório que esteja a uma taxa de transmissão de 19.200kbps. O formato da mensagem Modbus escolhido foi o de oito (8) dados de *bits* com paridade par e um *bit* de stop, pois também, esse é o formato suportado para comandos provenientes de interfaces remotas.

4.4 Comunicação

A programação do microcontrolador foi feita no Visual Studio Code, mas ela pode ser executada em qualquer IDE de preferência do usuário. Vale ressaltar que na plataforma oficial de desenvolvimento da estrutura do microcontrolador ESP32 (ESP-IDF) existem bibliotecas e ferramentas disponíveis para *download* que auxiliam na programação, o *framework* da ESP-IDF foi utilizada no projeto em conjunto com exemplos disponíveis no GitHub e adaptou paraas necessidades do trabalho. O acesso aos exemplos no GitHub estão disponíveis a partir do seguinte domínio:

- **Link: GitHub.** JACK0C (2022)

Primeiramente é essencial instalar o *framework* da Espressif contendo o conjunto de ferramentas e bibliotecas do ESP-IDF afim de conseguir trabalhar com os exemplos disponibilizados, para fazer isso, no terminal de desenvolvimento Visual Studio Code, basta pesquisar no guia extensões "ESP IDF" e clicar para iniciar a instalação.

Para inicializar a comunicação *Universal Asynchronous Receiver/Transmitter* (UART) e ter o controle de fluxo de dados foi utilizado o exemplo disponível no GitHub através do seguinte domínio:

- **Link: GitHub-UART.** KAYA (2022)

Através desse exemplo é possível configurar quais portas do microcontrolador serão utilizadas para realizar a comunicação UART com os periféricos, e também vai garantir que a comunicação entre o computador e o microcontrolador ocorra corretamente.

O modo de transmissão de dados escolhido foi o RS485 Half-Duplex, afim de garantir que o fluxo de dados seja apenas para um lado, ou seja, quando o mestre enviar um comando os escravos entram em modo de recebimento de mensagem, e quando os escravos decidirem enviar uma mensagem, o mestre entra em modo de recepção, fazendo assim, com que não aconteça a colisão de dados.

A parte da programação que possibilita esse meio de transmissão de dados pode ser verificada no Apêndice C na linha 135 do código.

A taxa de transmissão de dados e o formato da mensagem Modbus devem estar configuradas de acordo com os parâmetros definidos no inversor de frequência conforme mostrada na tabela 2, a taxa de transmissão de dados pode ser definida através da linha 129 do código disponível no Apêndice C.

A quantidade de *bits* de dados, a paridade e o *bit* de parada então definidas entre as linhas 193 e 195 do código disponível no Apêndice C.

Com o controle de fluxo definido e o formato da mensagem Modbus configurada, tanto no inversor de frequência quanto no microcontrolador, já é possível iniciar a comunicação entre os dispositivos, para isso é necessário saber

como e quais *frames* serão enviados na mensagem Modbus.

Os *frames* necessitam estarem sendo enviados de maneira periódica para que o inversor de frequência não apresente perda de comunicação durante o seu funcionamento.

4.4.1 Mensagem Modbus

O formato de transmissão da mensagem é através do modo RTU, a tabela 3 informa a maneira que os dados devem ser enviados.

Quadro 3 – Formato da mensagem Modbus RTU

ENDEREÇO DO ESCRAVO	CÓDIGO DE SOLICITAÇÃO	DADOS	CRC16
---------------------	-----------------------	-------	-------

Fonte: Adaptado de Schneider (2009b)

Após tomar nota do *frame*, é necessário saber quais comandos devem ser enviados para realizar as operações de leitura e escrita em registradores, as funções do Modbus referente ao inversor de frequência se encontram no Anexo B

Assim serão utilizados o código 3 (0x03) para a leitura e o código 6 (0x06) para a escrita. Ao saber dos endereços e comandos necessários, necessitasse dos endereços dos registradores, no qual podem ser verificados no Anexo B.1.

Com isso já é possível saber quais valores de comandos que é preciso ser escrito no registrador W8501 (0x2135). O valor que deve ser enviado para habilitar a operação é o 0x0007. Para conseguir ler o registrador de *STATUS* do inversor de frequência, a imagem referente ao registrador *STATUS* se encontra no Anexo C, precisa-se ler o registrador de endereço 0x0C81, ao tomar conhecimento do conteúdo desses registradores pode-se saber qual comando deve ser enviado para o registrador de comando, afim de avançar as etapas no fluxograma disponível no Anexo A. Para ler o *STATUS* do inversor, deve-se enviar o *FRAME* apresentado na tabela 4.

Quadro 4 – Frame para STATUS

Endereço do Escravo	Código de solicitação	Dados	Dados	CRC16
0x01	0x03	0x0C81	0x0001	0xD772
1 byte	1 byte	2 bytes	2 bytes	2 bytes

Fonte: Autoria própria (2022)

Em que 0x01 é o endereço do escravo, 0x03 é o comando para leitura, 0x0C81 é o endereço do registrador *ETA STATUS*, 0x0001 fornece o número 1 que é a quantidade de registradores que devem ser lidos, por fim, o CRC16 que é calculado.

Um comentário importante quanto ao CRC16 utilizado no formato de mensagem Modbus que foi apresentado na Tabela 4 e que serão apresentados nas próximas tabelas. O formato da mensagem CRC16 é em *little endian*, ou seja, é enviado primeiramente o byte menos significativo na mensagem. E para encontrar o valor correto do CRC16 foi utilizado um conversor *online* disponível no seguinte domínio:

- **Link: Conversor Online.** CRCCALC (2022)

Exemplo de como pode-se estar utilizando o conversor *online* vai estar disponível no Apêndice A.

Pra escrever comandos que alteram o estado do fluxograma disponível no Anexo A, deve-se escrever os *frames* conforme a tabela 5.

Quadro 5 – Frame para comando

0x01	0x06	WORD	CRC16
1 byte	1 byte	2 bytes	2 bytes

Fonte: Autoria própria (2022)

Em que 0x01 é o endereço do escravo, 0x06 é o comando para escrita, 0x2135 é o endereço do registrador de comandos, WORD é o conteúdo que deve ser enviado para o registrador e CRC16 é o valor do CRC em *little endian*.

Considerando os comandos que devem ser enviados, supõe-se que se inicia no momento em que o inversor de frequência recebe a alimentação da rede. Para

que seja enviado algum comando para o inversor de frequência, é necessário que o inversor esteja no estágio 3 do fluxograma. Afim de confirmar isso, é necessário ler o registrador ETA Status e caso o mesmo possua a resposta 0x0040 após a máscara 0x006F ser aplicada, significa que é possível transitar de etapa. Para isso, é preciso enviar o *Frame* para *STATUS* e analisar a sua resposta, caso esteja na etapa 3, deve-se enviar o comando 0x0006 (*Shutdown*) para que o inversor de frequência passe para a etapa 4. A mensagem Modbus para o comando *Shutdown* pode ser verificada conforme a tabela 6.

Quadro 6 – Frame para Shutdown

Endereço do Escravo	Código de solicitação	Dados	Dados	CRC-16
0x01	0x06	0x2135	0x0006	0x13FA
1 byte	1 byte	2 bytes	2 bytes	2bytes

Fonte: Autoria própria (2022)

Após enviar o comando *Shutdown*, o inversor transitará para a etapa 4. Para cada etapa é necessário enviar o *frame* para *STATUS*, portanto assume-se que após enviar um *Frame* para comando, será sempre confirmado se o inversor transitou para a nova etapa. Após o inversor se estabelecer na etapa 4, deve ser enviado o comando *Switch On*, de acordo com a tabela 7.

Quadro 7 – Frame para Switch On

Endereço do Escravo	Código de solicitação	Dados	Dados	CRC-16
0x01	0x06	0x2135	0x0007	0xD23A
1 byte	1 byte	2 bytes	2 bytes	2bytes

Fonte: Autoria própria (2022)

Com isso, será alcançada a etapa 5, portanto deve ser enviado o *frame Enable Operation* de acordo com a tabela 8.

Quadro 8 – Frame Enable Operation

Endereço do Escravo	Código de solicitação	Dados	Dados	CRC-16
0x01	0x06	0x2135	0x000F ou 0x0008	0xD3FC ou 0xD43C
1 byte	1 byte	2 bytes	2 bytes	2bytes

Fonte: Autoria própria (2022)

Os bytes podem mudar conforme o sentido de giro desejado, um formato para o sentido direto e outro formato para o sentido inverso, por isso os dados transmitidos mudam e o CRC precisa ser recalculado.

Com o inversor pronto para entrar em operação, foram definidos comandos de leitura para corrente e frequência e um comando de escrita para a frequência nominal de rotação do motor para que ele operasse a 60Hz. Os comandos através da mensagem Modbus podem ser verificados nas tabelas 9, 10 e 11.

Quadro 9 – Frame para leitura de corrente do inversor de frequência

Endereço do Escravo	Código de solicitação	Dados	Dados	CRC-16
0x01	0x03	0x0C84	0x0001	0xC773
1 byte	1 byte	2 bytes	2 bytes	2bytes

Fonte: Autoria própria (2022)

Quadro 10 – Frame para leitura da frequência do inversor de frequência

Endereço do Escravo	Código de solicitação	Dados	Dados	CRC-16
0x01	0x03	0x2136	0x0001	0x6E38
1 byte	1 byte	2 bytes	2 bytes	2bytes

Fonte: Autoria própria (2022)

Quadro 11 – Frame para escrita da frequência do inversor de frequência

Endereço do Escravo	Código de solicitação	Dados	Dados	CRC-16
0x01	0x06	0x2136	0x0258	0x6362
1 byte	1 byte	2 bytes	2 bytes	2bytes

Fonte: Autoria própria (2022)

No inversor de frequência, o formato da mensagem Modbus tem dois formatos, os formatos que foram apresentados nas tabelas até agora neste trabalho, são referente a comunicação Modbus para solicitação, quando a resposta é enviada pelo escravo ela tem o formato apresentado na tabela 12.

Quadro 12 – Frame referente a resposta da mensagem Modbus do inversor de frequência

Endereço do Escravo	Código de solicitação	Números de bytes lidos	Primeira Word	Última Word	CRC-16
1 byte	1 byte	1 byte	2 bytes	2 bytes	2bytes

Fonte: Adaptado de Schneider (2009b)

A tabela 12 vai ajudar a esclarecer como foi implementada na programação do código do microcontrolador ESP32 para retirar informações específicas que cada

bit representa.

Das tabelas para solicitação que foram apresentadas, a maneira que pode estar criando as mensagens Modbus afim de se comunicar com o inversor de frequência por meio da programação, pode ser verificada entre as linhas 246 e 388 do código disponível no Apêndice C.

Para extrair os dados dos *frames* de respostas enviadas pelo escravo foi criada uma função que recebe como parâmetro, qual é o registrador que foi lido, isso possibilita extrair informações específicas que cada *bit* da mensagem Modbus carrega. Entre as linhas 390 e 440 do código disponível no Apêndice C, vão estar lendo as repostas dos registradores relacionada corrente, status e frequência.

Ao usar como exemplo a parte do código entre as linhas 425 e 428 disponível no Apêndice C para ler os registradores de status, ele é composto por 16 *bits* de dados e cada *bit* carrega uma informação específica, essas informações podem ser verificadas no Anexo C.1. O *bit* de interesse para verificar se o motor está em operação ou não é o *bit 2: Operation Enable*, e também, é o *bit* que mostra se o motor está no sentido de giro direto, pois quando o motor entra em operação, ele já começa nesse sentido de giro. Para fazer a verificação foi feita o deslocamento de *bits*, justamente para pegar essa informação específica, detalhes do que o código está executando pode ser verificado no Apêndice A, figura 20.

Verificado a eficácia da comunicação Modbus, o trabalho seguiu para a elaboração da comunicação através da rede Wi-fi.

4.5 Conexão com a internet

O ESP32 é um servidor HTTP para os aparelhos conectados na rede Wi-fi local ou externa, para esse projeto no caso, não foi desenvolvido a possibilidade de um usuário externo à rede Wi-fi local estar interagindo com o inversor de frequência.

Para habilitar a comunicação através da rede Wi-fi foram utilizadas duas maneiras de se conectar na rede, na rede comum foi utilizado o protocolo de segurança *Wi-Fi Protected Access (WPA)/Wi-Fi Protected Setup (WPS)* e na rede da universidade foi utilizado o protocolo *Wi-Fi Protected Access 2 (WPA2) Enterprise*, ambos os exemplos se encontram no GitHub através dos respectivos domínios:

- **Link: GitHub Wi-fi.** YDESP (2022)
- **Link: GitHub Wi-fi Enterprise.** HFUDEV (2022)

Para se conectar na rede comum é necessário informar para o microcontrolador o nome da rede e a senha da mesma na qual deseja-se conectar, o que pode ser verificado no Apêndice C entre as linhas 95 e 96 do código.

Para verificar se a conexão com a rede Wi-fi foi estabelecida existem funções *handler* que ficam administrando o processo afim de conseguir realizar operações de acordo com o que acontece com o microcontrolador, no caso será possível realizar uma ação de mostrar que o microcontrolador está conectado no Wi-fi, detalhes desse processo pode ser verificado no Apêndice C entre as linhas 986 e 1018 do código.

Para se conectar na rede Wi-fi da universidade precisa utilizar o protocolo WPA2 Enterprise e informar o nome da rede, nome do usuário e senha, detalhes do processo pode ser verificado no Apêndice B. Após a configuração para acessar a rede Wi-fi, já é possível elaborar uma página *web* no microcontrolador para poder interagir com o inversor de frequência de maneira remota.

4.5.1 Página Web dados de leitura e escrita

As páginas Webs foram feitas utilizando programação HTML e JavaScript. A primeira página *web* que envia comandos e lê informações do inversor de frequência foi feita utilizando como base um exemplo público disponível em um compilador *online*, e ajustada conforme as necessidades do projeto. o compilador *online* com o respectivo exemplo se encontra no seguinte domínio:

- **Link: Compilador Online.** W3SCHOOLS (2022)

A segunda e terceira página *web* que são responsáveis por mostrar os gráficos do projeto foram feitas utilizando como base um exemplo público e ajustado conforme as necessidades do projeto. O exemplo se encontra no seguinte domínio:

- **Link: Base para gráficos.** USEFULANGLE (2016)

Inicialmente é preciso registrar as páginas *webs* com seus respectivos endereços no microcontrolador para ser possível acessar elas. A parte do código que mostra esse processo está disponível no Apêndice C entre as linhas 919 e 944. A página designada como "hello" é a página que permite enviar os comandos para o inversor de frequência, a página "dados" é a responsável por mostrar os dados da maior corrente no motor em relação ao tempo e a página "consumo" é a responsável por mostrar o consumo do motor em kVAh.

A página "hello", possui um combo box com três opções, com isso é possível selecionar o comando que será enviado para o inversor de frequência. As opções disponíveis são as de ligar no sentido direto, reversor e desligar o motor, além de possuir a combo box com as opções, a página "hello" mostra o status de funcionamento do motor (ON/OFF) e apresenta dados de corrente e frequência, como pode observar nas figuras 10 e 11.

Figura 10 – Página Web elaborada para ler o status e enviar comandos para o inversor de frequência



The image shows a web browser interface for a page titled "Inversor". The browser's address bar shows "192.168.100.47/hello" with a warning icon and the text "Não seguro". The page content includes a section titled "Ação" (Action) with the instruction "Escolha uma Opção" (Choose an Option). Below this is a dropdown menu currently set to "Ligar Direto" (Direct On) and an "Enviar" (Send) button. A second section titled "Status" (Status) displays the following information: "Estado(on/off): OFF", "Sentido de Rotação: Direto" (Rotation Direction: Direct), "Corrente: 0.000 A" (Current: 0.000 A), and "Frequência de Operação: 60.000 Hz" (Operation Frequency: 60.000 Hz).

Fonte: Autoria própria (2022)

Figura 11 – Página Web com as três opções de ação para comando



Fonte: Autoria própria (2022)

Os dados são atualizados dentro de uma faixa de tempo, mas para visualizá-los é necessário ficar atualizando a página *web*, pois não foi implementada uma solução neste trabalho na qual a página *web* se atualizasse sozinha.

Ao selecionar o comando e clicar no botão de enviar as informações, o cliente será remetido a uma página com uma URL específica, o qual depende da opção que foi selecionada. Para isso foi criada uma função específica para obter a URL ao qual o cliente foi remetido, em outras palavras, a URL mostrará qual opção o cliente selecionou, como observa-se na figura 12. Essa função vai estar entre as linhas 201 e 235 do código disponível no Apêndice C. Com isso, depois que houve a identificação do comando enviado através da página *web*, o microcontrolador vai enviar a respectiva mensagem em formato Modbus para o inversor de frequência.

Figura 12 – URL's dos comandos enviados para o inversor de frequência



Fonte: Autoria própria (2022)

A função que configura a página *web* "hello" está entre as linhas 841 e 917 do código, disponível no Apêndice C.

Para acessar a página *web* é necessário utilizar o *Internet Protocol* (IP) que

o microcontrolador obteve quando entrou na rede Wi-fi após ter inicializado o servidor, juntamente com uma "/" e o nome da página que foi definida na programação, o endereço IP é apresentado diretamente na tela de execução do terminal do Visual Code Studio. No caso para acessar a página "hello", deve-se digitar no navegador o IP obtido pelo microcontrolador seguido de "/hello". Para acessar as outras páginas basta utilizar o mesmo IP seguido do seu respectivo nome após a "/". A figura 13 apresenta a página *web* recebendo os dados do inversor de frequência durante o funcionamento do motor.

Figura 13 – Página *web* interagindo com o inversor de frequência durante a operação do motor

← → ↻ ⚠ Não seguro | 192.168.100.47/hello?Selecao=LigarReverso

Inversor

Ação

Escolha uma Opção

Ligar Direto ▾

Enviar

Status

Estado(on/off): ON

Sentido de Rotação: Reverso

Corrente: 1.900 A

Frequência de Operação: 60.000 Hz

Fonte: Autoria própria (2022)

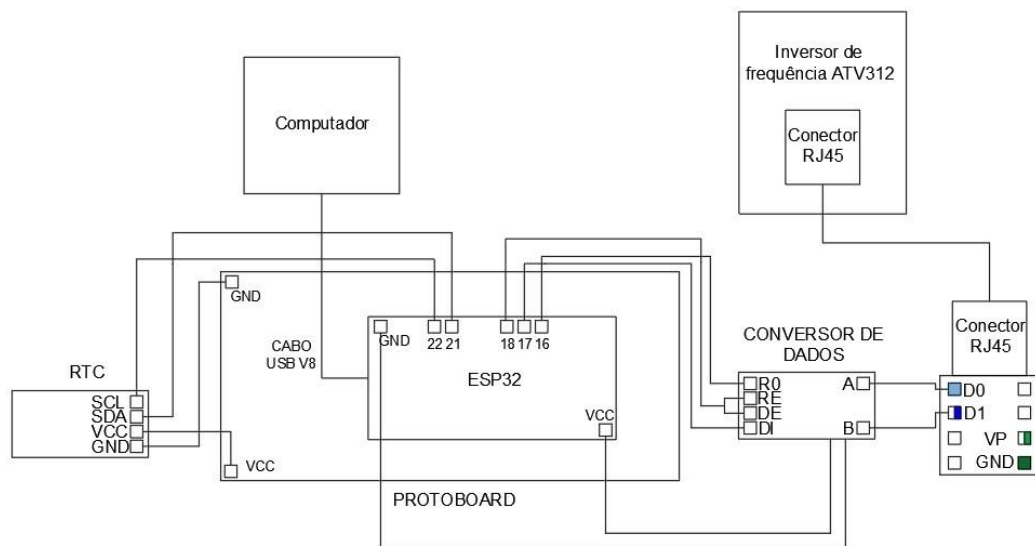
O trabalho feito até essa parte mostra todo o processo para conseguir interagir com o inversor de frequência para fazer comandos de leitura e escrita através do protocolo de comunicação Modbus RTU por intermédio de uma rede Wi-fi. Para ter a possibilidade de fazer um gráfico em relação ao tempo foi utilizado um RTC externo o DS3231 e o RTC interno do microcontrolador. No caso, o periférico externo é usado para ajustar a data e a hora do relógio interno do microcontrolador, após o ajuste, o microcontrolador vai contabilizar o tempo internamente de maneira automática.

4.5.2 Página Web Gráficos

Para tornar possível a criação dos gráficos é necessário vincular os valores de corrente e consumo do motor com o o horário que foi realizado a medida, esse horário é retirado do módulo RTC interno do ESP32 através de variáveis, as variáveis foram definidas conforme linha 91 do código e a contagem do tempo foi definida através das linhas 1218 e 1236 do código e podem ser verificadas no Apêndice C.

Para ser possível trabalhar com o periférico externo RTC DS3231 é necessário habilitar o periférico da I2C do ESP32, a I2C é um protocolo de comunicação que possibilita o envio dos bytes do mesmo, esse processo de habilitação se encontra entre as linhas 174 e 188 do código disponível no Apêndice C. Após ter habilitado o periférico é preciso que estejam conectados o pino SCL do DS3231 no pino 22 do microcontrolador que tem a função de clock e o pino SDA no pino 21 do microcontrolador que tem a função de dados. E também é necessário declarar no código do microcontrolador ambos os pinos que vão estar sendo utilizados. A figura 14 mostra a planta final do projeto.

Figura 14 – Planta do projeto com o periférico RTC acoplado



Fonte: Autoria própria (2022)

Para começar a configurar o RTC DS3231 pela primeira vez é preciso escrever os dados de horas, minutos, segundos, dia, mês e ano nos respectivos registrador em valores hexadecimais. Como precisa estar definindo o horário e a data apenas uma única vez, é necessário deixar essa parte comentada no código

na próxima inicialização do programa para que o horário e a data não sejam desconfigurados. A configuração desses registradores estão disponíveis entre as linhas 1389 e 1396 do código disponível no Apêndice C

O controle do horário no microcontrolador vai estar armazenado dentro de variáveis, e para implementar a contagem do horário é preciso iniciar um periférico interno de *timer* que fica operando periodicamente e executa uma função a cada um segundo. Dessa maneira é possível incrementar valores nas variáveis de tempo. A inicialização do periférico *timer*, a criação e inicialização do mesmo pode ser verificada entre as linhas 1381 e 1383 do código, disponível no Apêndice C.

Para não perder os dados lidos pelo inversor de frequência é necessário estar habilitando o armazenamento dos mesmos, para isso é necessário criar uma partição para armazenamento de arquivos na memória *flash* do microcontrolador, através da biblioteca `esp_spiffs.h`. O arquivo é salvo em formato de texto.

Para implementar esse processo no código foi utilizado um exemplo disponível no GitHub e adaptado as necessidades do projeto, o exemplo se encontra através do seguinte domínio:

- **Link: Armazenamento.** SONGRUO (2022)

Para criar, editar e excluir os arquivos de texto presentes na partição é necessário utilizar funções nativas da linguagem C para a criação de arquivos. Elementos disponíveis na partição estão presentes em um arquivo `.CSV` de nome "partitions" disponível no exemplo utilizado do GitHub, esse arquivo deve ser adicionado no mesmo diretório em que o programa está sendo elaborado, e após executar o programa o compilador vai traduzir todos os arquivos do diretório para linguagem de máquina e enviar para o microcontrolador.

Das funções utilizadas pode-se citar a "fopen" que é utilizada para criar/adicionar e abrir arquivos de texto. A "fprintf" que é para imprimir o conteúdo no arquivo de interesse e o "fclose" que é para fechar o arquivo após ter sido escrito nele.

No código foi implementado a função "fopen" para abrir ou ler o arquivo e para isso é necessário informar em qual local da memória ele se encontra. Esse endereçamento no programa está na linha 1164 do código disponível no Apêndice

C. A função "fprint" foi utilizada para escrever os dados no arquivo de texto e a "fclose" foi utilizada para fechar a coleta de dados. Esse processo vai estar se repetindo e armazenando dados de maneira periódica.

Os dados de interesse lidos devem ser separados por ";". No caso, os dados que estão sendo lidos são os dados de corrente, consumo do motor em kVAh, segundos, minutos, horas, ia, mês e ano, pois no momento em que precisar extrair as informações do arquivo, vai ser possível distinguir cada dado de si, referente aos dados de kVAh eles foram obtidos através da relação direta da corrente e da tensão. Esses mesmos dados vão estar sendo extraídos e armazenados a cada 5 segundos com o intuito de armazenar as informações para a elaboração dos gráficos em tempo real.

A função principal que é responsável pela coleta e armazenamento de dados se encontra entre as páginas 1161 e 1260 do código disponível no Apêndice C.

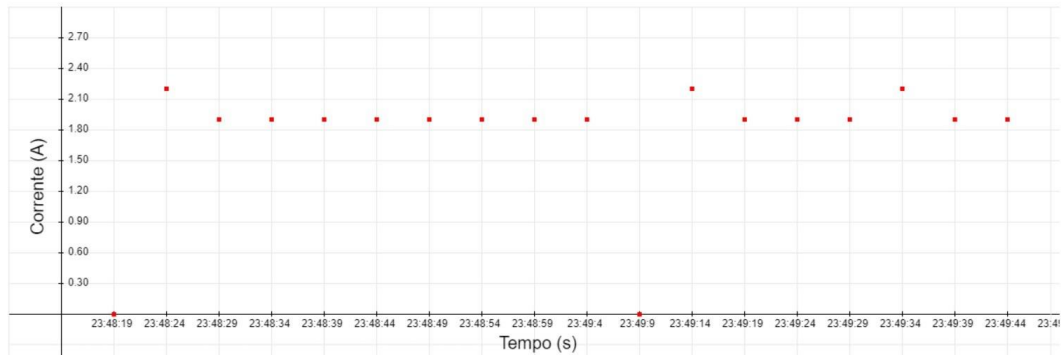
Essas informações vão estar armazenadas dentro da memória *flash* do microcontrolador e estarão sendo mostradas na tela do terminal de visualização do Visual Code Studio.

Com todo esse processo já é possível estar elaborando as duas páginas *webs* que contém os gráficos de corrente e consumo do motor em kVAh. As linhas da programação para a elaboração dos dois gráficos estão entre as linhas 476 e 917 do código disponível no Apêndice C.

Para a elaboração do primeiro gráfico de corrente em relação ao tempo e do gráfico de consumo em kVAh do motor, se iniciou o motor com uma partida direta e manteve ele em operação, a próxima ação foi o seu desligamento durante cinco segundos, após isso o comando de rotação de sentido inverso foi enviado e continuou em operação, seguido de um desligamento e outro comando de partida direta do motor, como pode observar nas figuras 15 e 16.

Figura 15 – Gráfico de consumo da corrente do motor em relação ao tempo

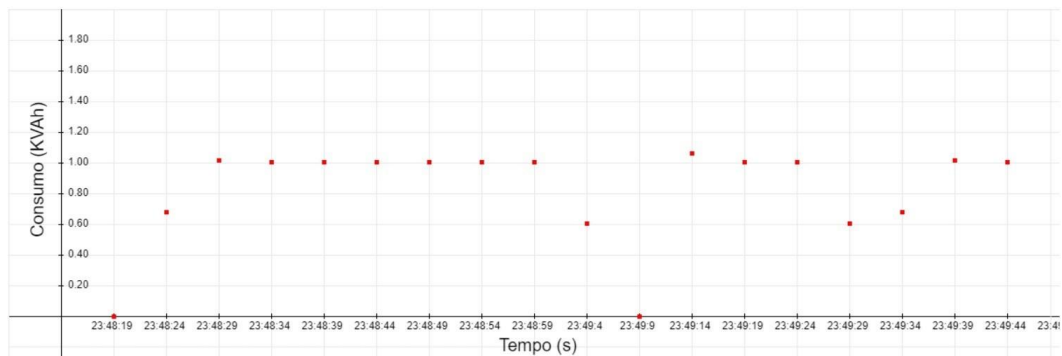
Gráfico:



Fonte: Autoria própria (2022)

Figura 16 – Gráfico de consumo em kVAh do motor

Gráfico:



Fonte: Autoria própria (2022)

É esperado que durante a partida do motor ele atinja picos de correntes maiores do que a nominal, isso foi possível ser verificado nos tempos 23:48:19;23:49:14;23:49:34 da figura 15, entretando, quando houve uma parada seguida de uma ligação, o valor da corrente mostrada no gráfico não é nulo. Isso ocorre devido ao fato que o microcontrolador está extraindo dados a cada cinco segundos do inversor de frequência, e se o valor de corrente de partida acontecer entre esse intervalo o microcontrolador não vai conseguir registrar ele, nesse caso, vai registrar o valor decorrido após os cinco segundos completos.

A escolha de extração de dados a cada cinco segundos foi feita com o intuito de elaborar um gráfico de maneira rápida para comprovar a eficácia da página *web*, mas o período de tempo pode ser configurado conforme o interesse da pessoa em

questão que deseja analisar o gráfico. O intervalo de tempo configurado está entre as linhas 1237 e 1256 do código disponível no apêndice C.

Os dados no gráfico de consumo do motor em kVAh apresentam valores médios do consumo no decorrer do tempo, e são contabilizados conforme a operação do motor. Entre os tempos 23:49:29 e 23:49:34 do gráfico de consumo, pode-se observar que houve valores menores mesmo tendo um valor de corrente maior em relação as outras medidas naquele mesmo instante, isso deve ao fato que durante esse processo o motor foi desligado e religado rapidamente, ou seja, ficou em inoperação por um período de tempo, logo, esperasse que o seu consumo seja menor.

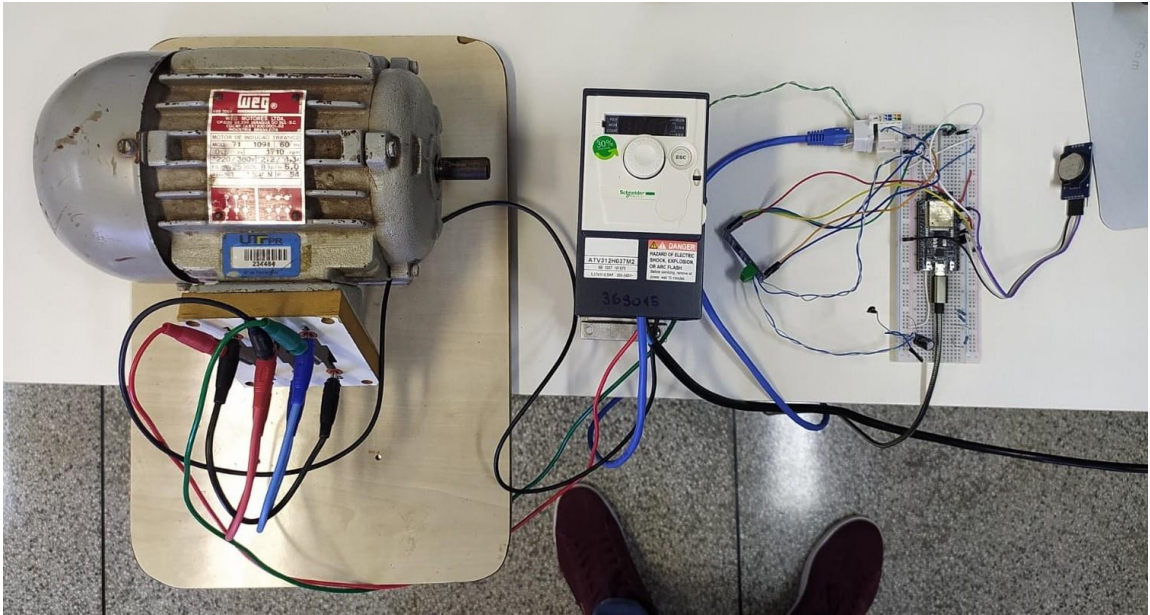
Referente ao armazenamento de dados, eles podem ser observados na figura 27 no qual a cada cinco segundos vai estar armazenando os dados de operação do inversor de frequência e sendo mostrados na tela do terminal.

Figura 17 – Dados extraídos em relação a data e hora

```
24/10/22;23:48:19;0.000000;0.000000;
24/10/22;23:48:24;2.200000;0.676622;
24/10/22;23:48:29;1.900000;1.014933;
24/10/22;23:48:34;1.900000;1.004361;
24/10/22;23:48:39;1.900000;1.004361;
24/10/22;23:48:44;1.900000;1.004361;
24/10/22;23:48:49;1.900000;1.004361;
24/10/22;23:48:54;1.900000;1.004361;
24/10/22;23:48:59;1.900000;1.004361;
24/10/22;23:49:4;1.900000;0.602617;
24/10/22;23:49:9;2.000000;0.000000;
24/10/22;23:49:14;2.200000;1.057222;
24/10/22;23:49:19;1.900000;1.004361;
24/10/22;23:49:24;1.900000;1.004361;
24/10/22;23:49:29;1.900000;0.602617;
24/10/22;23:49:34;2.200000;0.676622;
24/10/22;23:49:39;1.900000;1.014933;
24/10/22;23:49:44;1.900000;1.004361;
24/10/22;23:49:49;1.900000;1.004361;
```

Fonte: Autoria própria (2022)

A figura 18 apresenta a planta final do protótipo montado com todos os componentes durante os testes realizados em laboratório.

Figura 18 – Protótipo

Fonte: Autoria própria (2022)

5 CONCLUSÕES E TRABALHOS FUTUROS

O presente trabalho concluiu todos os objetivos propostos e elaborou a sequência de como foi executada a planta do protótipo na prática. É importante ressaltar que os frames enviados para o microcontrolador representam a parte mais importante do projeto, pois uma vez que a mensagem Modbus esteja errada a comunicação não vai ser estabelecida. A mensagem Modbus enviada através da rede RS-485 não apresentou nenhuma falha, o que comprova a eficácia dos componentes utilizados para essa finalidade.

O uso do microcontrolador para a comunicação com o inversor de frequência através da rede Wi-fi da universidade e da rede comum apresentaram ótimos resultados. Durante os testes, os comandos de ações enviados para o inversor de frequência eram executados praticamente de maneira instantânea, mesmo sendo enviados de maneira remota. O que permitia operar o motor no momento em que o click na combo box da página *web* era realizado.

Durante os testes efetuados dentro da universidade, houve problemas do microcontrolador conseguir um endereço IP durante os horários em que estavam acontecendo as aulas, provavelmente devido a quantidade de usuários que estavam conectados através do roteador no qual o microcontrolador estava tentando extrair o endereço IP. Nos finais de semana quando não tinha fluxo de pessoas na universidade, a obtenção do endereço IP não enfrentou nenhum problema e os testes puderam ser realizados sem interrupções.

Devido a isso, foi criado um acesso a rede comum WPA, para conseguir reproduzir o trabalho fora do ambiente universitário. O qual é recomendado para não estar enfrentando problemas com a conexão em dias que a rede esteja sobrecarregada. Apenas para fins de testes. Durante a operação do microcontrolador em uma faixa grande de tempo, ele reiniciava o processo, o que fazia com que a comunicação com o inversor de frequência e com a rede Wi-fi fosse perdida por alguns instantes. A causa provável seria em relação ao estouro da memória de armazenamento, nesse caso, o inversor constatava perda de comunicação e a operação do motor era interrompida, sendo necessário o envio de um novo comando para que ele entrasse em operação novamente.

O sistema de banco de dados apresentaram valores correspondentes aos

mostrados nos gráficos elaborados e ficam disponíveis no histórico da janela do terminal, entretanto, durante um período de tempo, os últimos dados são limpidos da memória, só tendo a possibilidade de verificar os dados mais recentes da operação.

As páginas *webs* elaboradas conseguiram com êxito representar o que estava acontecendo durante o processo de operação, os dados de leitura e operação condiziam com o funcionamento do motor, mas para os gráficos serem atualizados com os novos dados, é necessário estar atualizando a página *web* manualmente, pois o presente trabalho não elaborou uma maneira da página se atualizar automaticamente. Uma problemática encontrada no projeto acontecia quando o microcontrolador reinicializava o processo da comunicação, devido a ficar por um grande período de tempo executando o programa. Com isso, foi constatado que os dados gerados nos gráficos apresentados nas páginas *webs* eram perdidos, iniciando do zero a sua elaboração assim que fosse atualizada a página. Se o microcontrolador não reiniciar o processo, as páginas *webs* podem ser atualizadas a todo instante que os dados obtidos estiverem presentes para serem analisados.

Caso seja de interesse do leitor reproduzir o trabalho, o mesmo está disponibilizando tudo o que é necessário para ser possível a sua reprodução.

Referente as otimizações que o trabalho poderá estar sendo submetido, elaborar uma solução para que a operação do motor não seja interrompida de maneira abrupta quando o microcontrolador apresentar falhas de comunicação.

Elaborar um projeto de supervisão e operação no qual a página *web* atualize os dados em tempo real sem que seja necessário o próprio operador estar atualizando a página de maneira manual.

Criar a possibilidade de supervisionar e operar mais de um dispositivo através da rede RS-485 por meio do protocolo de comunicação modbus, aprofundando a interação entre mestre e escravos durante a comunicação.

Criar um sistema de armazenamento de dados externo ao microcontrolador para ser possível estar analisando o histórico completo da extração dos dados, pois o microcontrolador tem uma memória interna considerada pequena para grandes quantidades de dados.

REFERÊNCIAS

ANDREI, L. **O Que é GitHub e Como Usá-lo**. 2022. HOSTINGER TUTORIAIS. Disponível em: <<https://www.hostinger.com.br/tutoriais/o-que-github>>.

CARDENAS, R.; JURASK, G. **UM ESTUDO SOBRE O USO DE LINGUAGENS DE PROGRAMAÇÃO E SOFTWARES UTILIZADOS NA INDÚSTRIA DE JOINVILLE E REGIÃO E SUA RELAÇÃO COM O PERFIL DO EGRESSO DO BACHARELADO EM CIÊNCIA E TECNOLOGIA DA UFSC CAMPUS JOINVILLE1**. Santa Catarina: Universidade Federal de Santa Catarina, 2019. 27 p.

CRCCALC. **Consistent Overhead Byte Stuffing (COBS) Encoder/Decoder**. 2022. Crccalc. Disponível em: <<https://crccalc.com/>>.

CUNHA, J. **PROTÓTIPO DE REDE INDUSTRIAL UTILIZANDO O PADRÃO SERIAL RS485 E PROTOCOLO MODBUS**. Santa Catarina: Universidade Regional de Blumenau, 2000. 104 p.

EDSON. **Introdução ao Visual Studio Code**. 2016. .Net magazine 127. Disponível em: <<https://www.devmedia.com.br/introducao-ao-visual-studio-code/34418>>.

ESPRESSIF. **ESP32 Series Datasheet**. 2020. ESPRESSIF. Disponível em: <<https://www.espressif.com/en/support/documents/technical-documents>>.

ESPRESSIF. **ESP-IDF Programming Guide**. 2022. GitHub. Disponível em: <<https://docs.espressif.com/projects/esp-idf/en/stable/esp32/index.html>>.

GADELHA, E. **DESENVOLVIMENTO DE UM PROTÓTIPO PARA AQUISIÇÃO DE DADOS DE PRODUÇÃO INDUSTRIAL UTILIZANDO PROTOCOLO MODBUS RTU EM UMA REDE RS-485 E INTERFACE GRÁFICA INTEGRADA AO GERENCIADOR DE BANCO DE DADOS MYSQL**. Ceará: Universidade Federal do Ceará, 2019. 53 p.

HFUDEV. **docs: changes docs supported targets tables**. 2022. GitHub. Disponível em: <https://github.com/espressif/esp-idf/tree/master/examples/wifi/wifi_enterprise>.

INTEGRATED, M. **DS3231 Extremely Accurate I2C-Integrated RTC/TCXO/Crystal**. 2015. MAXIM INTEGRATED. Disponível em: <<https://datasheets.maximintegrated.com/en/ds/DS3231.pdf>>.

JACK0C. **Merge branch 'feature/esp32c2_optimize_ble_init' into 'master'**. 2022. GitHub. Disponível em: <<https://github.com/espressif/esp-idf>>.

KAYA, L. **uart: support examples and tests on esp32c6**. 2022. GitHub. Disponível em: <<https://github.com/espressif/esp>>.

idf/tree/master/examples/peripherals/uart/uart_echo_rs485>.

KONZEN, J. **UNIDADE DE CONDICIONAMENTO DE SINAIS COMO ELEMENTO DE INTERFACE ENTRE TRANSFORMADORES DE INSTRUMENTAÇÃO E DISPOSITIVO DE AQUISIÇÃO DE DADOS**. Santa Maria: Universidade Federal de Santa Maria, 2019. 94 p.

LIMA, G. **Saiba tudo sobre o IDE - Integrated Development Environment**. 2022. Alura. Disponível em: <<https://www.alura.com.br/artigos/o-que-e-uma-ide>>.

MARAFON, D. **INTEGRAÇÃO JAVASERVER FACES E AJAX ESTUDO DA INTEGRAÇÃO ENTRE AS TECNOLOGIAS JSF E AJAX**. Santa Catarina: Universidade Federal de Santa Catarina, 2006. 221 p.

MIRANDA, L. **MONITORAMENTO DE PARÂMETROS AMBIENTAIS DE UM LEITO HOSPITALAR UTILIZANDO ESP32**. Amazônia: Universidade Do Estado Do Amazonas, 2019.44 p.

MURTA, G. **Conhecendo o ESP32 – usando ESP-IDF (4)**. 2018. BLOG DO GUSTAVO MURTA. Disponível em: <<https://jgamblog.wordpress.com/2018/02/09/conhecendo-o-esp32-usando-esp-idf-4/>>.

MURTA, J. G. A. **Conhecendo o ESP32 – Introdução (1)**. 2018. Eletrogate. Disponível em:<<https://blog.eletrogate.com/conhecendo-o-esp32-introducao-1/>>.

PELLIZZONI, L. **DESENVOLVIMENTO DE ARQUITETURA DE SOFTWARE REUTILIZÁVEL PARA IMPLEMENTAÇÃO DE APLICAÇÕES EM .NET**. Rio Grande do Sul: Universidade de Caxias do Sul, 2016. 152 p.

PONTES, W. **IMPLANTAÇÃO DE ESTAÇÃO SOLARIMÉTRICA E DE SISTEMA SUPERVISÓRIO COM SCADABR E PLATAFORMA IoT EM USINA FOTOVOLTAICA NA UNILAB-CE**. Fortaleza: Universidade Federal do Ceará, 2021. 149 p.

RIBEIRO, F. **INTERNET DAS COISAS: DA TEORIA À PRÁTICA**. Ouro Preto: Universidade Federal de Ouro Preto, 2019. 58 p.

RIOS, O. **Protocolos e Serviços de Redes**. Espírito Santo: Instituto Federal Espírito Santo, 2012. 80 p.

SALERNO, C. *et al.* **SISTEMA AUTOMÁTICO PARA ANÁLISE E DIAGNÓSTICO COMPUTACIONAL EM TEMPO REAL DE INSTALAÇÕES ELÉTRICAS**. Minas Gerais: Universidade Federal de Uberlândia, 2005. 4 p.

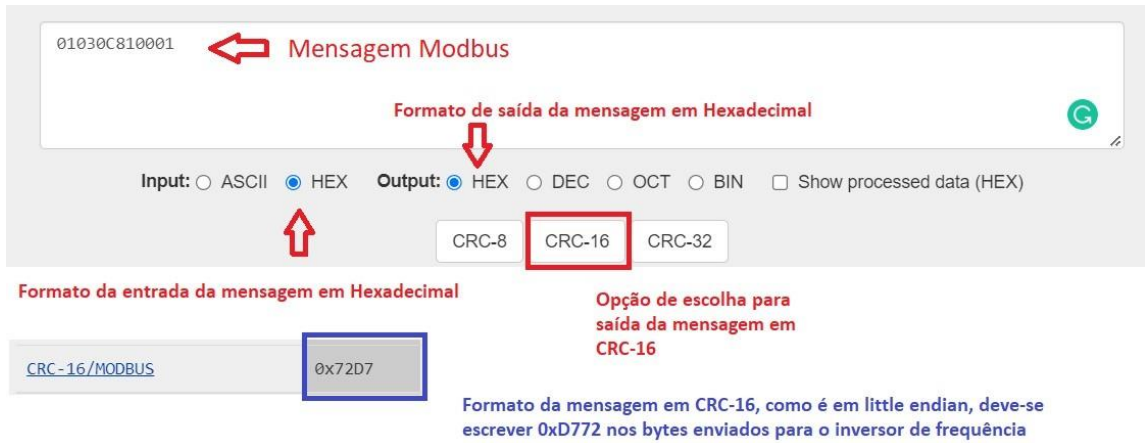
SANTOS, B. *et al.* **Indústria 4.0: Desafios e oportunidades**. In: DESENVOLVIMENTO, R. P. e (Ed.). Disponível em: <<http://revistas.cefet-rj.br/index.php/producaoedesevolvimento>>. Rio De Janeiro: [s.n.], 2018. p. 111–124.

SCHNEIDER. **ATV312 Communication variables manual**. 2009. Schneider

- Electric. Disponível em: <<https://www.se.com/ww/en/download/document/BBV51701/>>.
- SCHNEIDER. **ATV312 Modbus communication manual**. 2009. Schneider Electric. Disponível em: <<https://www.se.com/ww/en/download/document/BBV52816/>>.
- SCHNEIDER. **Altivar 312 Inversores de frequência para motores assíncronos**. 2016. Schneider Electric. Disponível em: <<https://www.se.com/br/pt/faqs/FA279257/>>.
- SILVA, E. **DESENVOLVIMENTO DO FRAMEWORK JAVA-FÁCIL**. São Paulo: Fundação Educacional do Município de Assis, 2011. 51 p.
- SILVA, K. **DESENVOLVIMENTO DE SISTEMA AUTOMATIZADO DE BAIXO CUSTO PARA AQUISIÇÃO DE DADOS DE UMIDADE RELATIVA E DE TEMPERATURA DO AR**. São Paulo: Universidade de São Paulo, 2000. 82 p.
- SONGRUO. **ci: Enable esp32c6 example, test_apps, and unit tests CI build stage**. 2022. GitHub. Disponível em: <<https://github.com/espressif/espidf/tree/master/examples/storage/spiffs>>.
- SOUZA, F. **SISTEMA EMBARCADO DE AQUISIÇÃO DE DADOS INTEGRADO COM A WEB**. Rio de Janeiro: Universidade Federal do Rio de Janeiro, 2005. 291 p.
- SOUZA, L. **POTENCIOSTATO DE BAIXO CUSTO COM TRANSMISSÃO DE DADOS SEM FIO**. São Paulo: Universidade Estadual Paulista (UNESP), 2021. 55 p.
- USEFULANGLE. **HTML5 Canvas Tutorial - How to Draw a Graphical Coordinate System with Grids and Axes**. 2016. Usefulangle. Disponível em: <<https://usefulangle.com/post/19/html5-canvas-tutorial-how-to-draw-graphical-coordinate-system-with-grids-and-axis>>.
- W3SCHOOLS. **tryhtml_input_test**. 2022. W3schools. Disponível em: <https://www.w3schools.com/tags/tryit.asp?filename=tryhtml_input_test>.
- YDESP. **CI: optimize wifi get started example test**. 2022. GitHub. Disponível em: <https://github.com/espressif/espidf/tree/master/examples/wifi/getting_started/status>.

APÊNDICE A – Exemplo Elaborados pelo autor

Figura 19 – Exemplo de uso do conversor online



Fonte: Autoria própria (2022)

Figura 20 – Exemplo Deslocamento de bits

Data[0]	Data[1]	Data[2]	Data[3]	Data[4]	Data[5]
Endereço Escravo	Código de solicitação	Número de bytes lidos	Dados	Dados	CRC-16
			15 14 13 12 11 10 9 8	7 6 5 4 3 2 1 0	
			↑ bits	↑ bits	

Parte retirada do código:

```
uint8_t Estado1 = (uint8_t)data[4];
Estado1 = Estado1 << 5;
Estado1 = Estado1 >> 7;
Estado = Estado1;
```

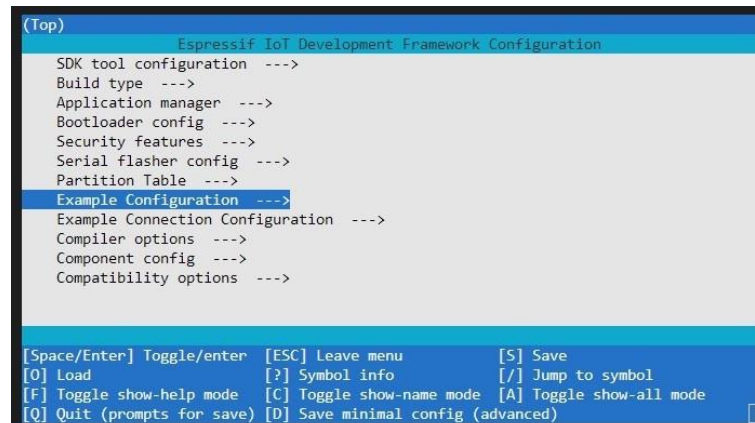
bit de interesse: bit 2 Enable operation
 Estado1 = Estado1 <<5; irá deslocar o bit 5 posições
 posição original do bit: 0 0 0 0 0 x 0 0
 posição nova do bit: x 0 0 0 0 0 0 0
 Estado1 = Estado1 >>7; irá deslocar o bit 7 posições
 posição final do bit: 0 0 0 0 0 0 0 x

Fonte: Autoria própria (2022)

**APÊNDICE B – Configuração para se conectar na rede wi-fi da
universidade**

O atalho para acessar o Terminal do ESP-IDF é "ctrl+shift+p" e digita na caixa de diálogo: ESP-IDF: Open Esp-IDF Terminal e seleciona a opção correspondente a pesquisa, assim o comando que deve ser utilizado é o "idf.py menuconfig". a caixa de seleção e configuração que se mostrará em seguida na IDE pode ser observado na figura 21.

Figura 21 – Menu de configuração

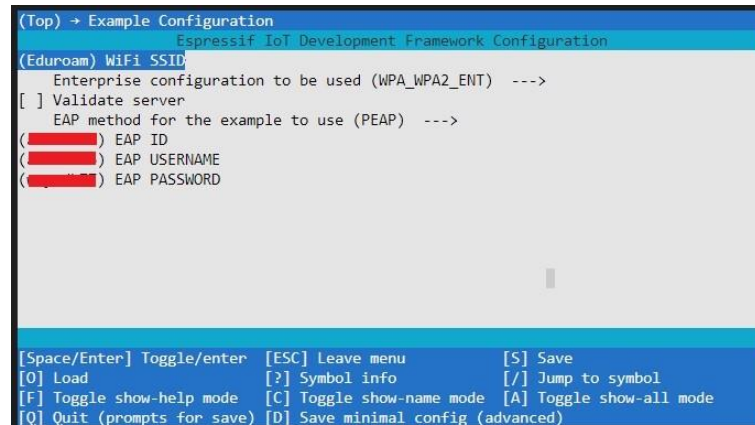


Fonte: Autoria própria (2022)

Ao selecionar a opção Example Configuration é possível configurar a rede wi-fi que deseja se conectar, o usuário e a senha como observa-se na figura 22.

Nas Opções do submenu Example Configuration, na opção Enterprise configuration to be used (WPA_WPA2_ENT) deve selecionar a opção WPA_WPA2_ENT. Na opção EAP method for the exaple to use (PEAP) deve selecionar a opção *Protected Extensible Authentication Protocol* (PEAP).

Figura 22 – Submenu de configuração Example Configuration



Fonte: Autoria própria (2022)

APÊNDICE C – Código

```

1  #include <string.h>
2  #include <stdlib.h>
3  #include <stdio.h>
4  #include "freertos/FreeRTOS.h"
5  #include "freertos/task.h"
6  #include "freertos/event_groups.h"
7  #include "esp_wifi.h"
8  #include "esp_wpa2.h"
9  #include "esp_event.h"
10 #include "esp_log.h"
11 #include "esp_system.h"
12 #include "nvs_flash.h"
13 #include "esp_netif.h"
14 #include <sys/param.h>
15 #include "esp_eth.h"
16 #include "protocol_examples_common.h"
17 #include "esp_tls_crypto.h"
18 #include <esp_http_server.h>
19 #include "driver/uart.h"
20 #include "freertos/queue.h"
21 #include "sdkconfig.h"
22 #include "driver/i2c.h"
23 #include "lwip/err.h"
24 #include "lwip/sys.h"
25 #include "driver/adc.h"
26 #include "esp_adc_cal.h"
27 #include "esp_spiffs.h"
28
29 esp_timer_handle_t periodic_timer;
30 #define DEFAULT_VREF    1100    //Use adc2_vref_to_gpio() to obtain a better estimate
31 #define NO_OF_SAMPLES   600    //Multisampling
32 static const adc_channel_t channel = ADC_CHANNEL_7;    //GPIO34 if ADC1, GPIO14 if ADC2
33 static const adc_bits_width_t width = ADC_WIDTH_BIT_12;
34 static const adc_atten_t atten = ADC_ATTEN_DB_0;
35 static const adc_unit_t unit = ADC_UNIT_1;
36 static esp_adc_cal_characteristics_t *adc_chars;
37
38 float GraficoCorrente[20];
39 float GraficoConsumo[20];
40 char GraficoHorarios[20][20];
41
42 FILE* arquivo;
43 static void check_efuse(void)
44 {
45 #if CONFIG_IDF_TARGET_ESP32
46     //Check if TP is burned into eFuse
47     if (esp_adc_cal_check_efuse(ESP_ADC_CAL_VAL_EFUSE_TP) == ESP_OK) {
48         printf("eFuse Two Point: Supported\n");
49     } else {
50         printf("eFuse Two Point: NOT supported\n");
51     }
52     //Check Vref is burned into eFuse
53     if (esp_adc_cal_check_efuse(ESP_ADC_CAL_VAL_EFUSE_VREF) == ESP_OK) {
54         printf("eFuse Vref: Supported\n");
55     } else {
56         printf("eFuse Vref: NOT supported\n");
57     }
58 #elif CONFIG_IDF_TARGET_ESP32S2
59     if (esp_adc_cal_check_efuse(ESP_ADC_CAL_VAL_EFUSE_TP) == ESP_OK) {
60         printf("eFuse Two Point: Supported\n");
61     } else {
62         printf("Cannot retrieve eFuse Two Point calibration values. Default calibration values will be
63 used.\n");
64     }
65 #else
66 #error "This example is configured for ESP32/ESP32S2."
67 #endif
68 }
69

```

```

70 static void print_char_val_type(esp_adc_cal_value_t val_type)
71 {
72     if (val_type == ESP_ADC_CAL_VAL_EFUSE_TP) {
73         printf("Characterized using Two Point Value\n");
74     } else if (val_type == ESP_ADC_CAL_VAL_EFUSE_VREF) {
75         printf("Characterized using eFuse Vref\n");
76     } else {
77         printf("Characterized using Default Vref\n");
78     }
79 }
80
81 #define MODOWIFI 0 //SE = 0 -> COMUM, SE 1 -> WPA2 ENTERPRISE
82
83 uint8_t LigarMotorSentido = 0;
84 uint8_t LigarMotor = 3;
85 float CorrenteMotor = 0;
86 uint8_t SentidoRotacao = 0;
87 float Frequencia = 0;
88 uint8_t Estado = 0;
89 float consumo=0;
90 float MaiorCorrente=0;
91 uint8_t Segundos, Minutos, Horas, Dia, Mes, Ano = 0;
92 uint8_t salvar=0;
93
94 #define EXAMPLE_ESP_WIFI_SSID      "DIGITE USUÁRIO AQUI"
95 #define EXAMPLE_ESP_WIFI_PASS      "DIGITE SENHA AQUI"
96 #define EXAMPLE_ESP_MAXIMUM_RETRY  10
97 #define WIFI_CONNECTED_BIT         BIT0
98 #define WIFI_FAIL_BIT              BIT1
99 #define ESP_WIFI_SCAN_AUTH_MODE_THRESHOLD WIFI_AUTH_WPA_PSK
100 static EventGroupHandle_t s_wifi_event_group;
101
102 #define CONFIG_I2C_MASTER_SCL 22
103 #define CONFIG_I2C_MASTER_SDA 21
104 #define I2C_MASTER_SCL_IO      CONFIG_I2C_MASTER_SCL      /*!< GPIO number used for I2C master
105 clock */
106 #define I2C_MASTER_SDA_IO      CONFIG_I2C_MASTER_SDA      /*!< GPIO number used for I2C master
107 data */
108 #define I2C_MASTER_NUM          0                          /*!< I2C master i2c port number, the
109 number of i2c peripheral interfaces available will depend on the chip */
110 #define I2C_MASTER_FREQ_HZ     50*1000                   /*!< I2C master clock frequency */
111 #define I2C_MASTER_TX_BUF_DISABLE 0                       /*!< I2C master doesn't need buffer */
112 #define I2C_MASTER_RX_BUF_DISABLE 0                       /*!< I2C master doesn't need buffer */
113 #define I2C_MASTER_TIMEOUT_MS  1000
114
115 #define MPU9250_SENSOR_ADDR     0x68                     /*!< Slave address of the MPU9250 sensor */
116 #define MPU9250_WHO_AM_I_REG_ADDR 0x00                  /*!< Register addresses of the "who am I"
117 register */
118
119 #define CONFIG_ECHO_UART_RXD 16
120 #define CONFIG_ECHO_UART_TXD 17
121 #define CONFIG_ECHO_UART_RTS 18
122 #define UART_PIN_NO_CHANGE (-1)
123
124 #define CONFIG_ECHO_UART_PORT_NUM 1
125 #define CONFIG_ECHO_UART_BAUD_RATE 19200
126
127 #define ECHO_TEST_TXD (CONFIG_ECHO_UART_TXD)
128 #define ECHO_TEST_RXD (CONFIG_ECHO_UART_RXD)
129
130 // RTS for RS485 Half-Duplex Mode manages DE/~RE
131 #define ECHO_TEST_RTS (CONFIG_ECHO_UART_RTS)
132
133 // CTS is not used in RS485 Half-Duplex Mode
134 #define ECHO_TEST_CTS (UART_PIN_NO_CHANGE)
135
136 #define BUF_SIZE (127)
137 #define BAUD_RATE (CONFIG_ECHO_UART_BAUD_RATE)
138

```

```

139 // Read packet timeout
140 #define PACKET_READ_TICS      (100 / portTICK_PERIOD_MS)
141 #define ECHO_TASK_STACK_SIZE (2048)
142 #define ECHO_TASK_PRIO      (10)
143 #define ECHO_UART_PORT      (CONFIG_ECHO_UART_PORT_NUM)
144
145 #define ECHO_READ_TOUT        (3) // 3.5T * 8 = 28 ticks, TOUT=3 -> ~24..33 ticks
146
147 static esp_err_t mpu9250_register_read(uint8_t reg_addr, uint8_t *data, size_t len)
148 {
149     return i2c_master_write_read_device(I2C_MASTER_NUM, MPU9250_SENSOR_ADDR, &reg_addr, 1, data, len,
150     I2C_MASTER_TIMEOUT_MS / portTICK_RATE_MS);
151 }
152
153 /**
154  * @brief Write a byte to a MPU9250 sensor register
155  */
156
157 static esp_err_t mpu9250_register_write_byte(uint8_t reg_addr, uint8_t data)
158 {
159     int ret;
160     uint8_t write_buf[2] = {reg_addr, data};
161     ret = i2c_master_write_to_device(I2C_MASTER_NUM, MPU9250_SENSOR_ADDR, write_buf, sizeof(write_buf),
162     I2C_MASTER_TIMEOUT_MS / portTICK_RATE_MS);
163     return ret;
164 }
165
166 /**
167  * @brief i2c master initialization
168  */
169
170 static esp_err_t i2c_master_init(void)
171 {
172     int i2c_master_port = I2C_MASTER_NUM;
173     i2c_config_t conf = {
174         .mode = I2C_MODE_MASTER,
175         .sda_io_num = I2C_MASTER_SDA_IO,
176         .scl_io_num = I2C_MASTER_SCL_IO,
177         .sda_pullup_en = GPIO_PULLUP_ENABLE,
178         .scl_pullup_en = GPIO_PULLUP_ENABLE,
179         .master.clk_speed = I2C_MASTER_FREQ_HZ,
180     };
181     i2c_param_config(i2c_master_port, &conf);
182     return i2c_driver_install(i2c_master_port, conf.mode, I2C_MASTER_RX_BUF_DISABLE,
183     I2C_MASTER_TX_BUF_DISABLE, 0);
184 }
185
186 const int uart_num = ECHO_UART_PORT;
187 uart_config_t uart_config = {
188     .baud_rate = BAUD_RATE,
189     .data_bits = UART_DATA_8_BITS,
190     .parity = UART_PARITY_EVEN,
191     .stop_bits = UART_STOP_BITS_1,
192     .flow_ctrl = UART_HW_FLOWCTRL_DISABLE,
193     .rx_flow_ctrl_thresh = 122,
194     .source_clk = UART_SCLK_APB,
195 };
196
197 void GetURI(char *string, char *result)
198 {
199     static unsigned int num = 0, pos = 0;
200     for(unsigned int i = 0; i < pos; i++)
201     {
202         string++;
203     }
204     while(*string != '\0')
205     {
206         if(*string == '=')
207             {

```

```

208         string++;
209         pos++;
210         while(*string != '&')
211         {
212             *result = *string;
213             result++;
214             string++;
215             pos++;
216             if(*string == '\0')
217             {
218                 num = 0;
219                 pos = 0;
220                 *result = '\0';
221                 break;
222             }
223         }
224         *result = '\0';
225         num++;
226         break;
227     }
228     string++;
229     pos++;
230 }
231 }
232
233 static void echo_send(const int port, const char* str, uint8_t length)
234 {
235     if (uart_write_bytes(port, str, length) != length) {
236         ESP_LOGE("UART", "Send data critical failure.");
237         // add your code to handle sending failure here
238         abort();
239     }
240 }
241
242 void EnableOperation(uint8_t parametro)
243 {
244     char string[8];
245     string[0] = 0x01;
246     string[1] = 0x06;
247     string[2] = 0x21;
248     string[3] = 0x35;
249     if(parametro==0)
250     {
251         string[4] = 0x00;
252         string[6] = 0xD3;
253         string[7] = 0xFC;
254     }
255     else if (parametro==1)
256     {
257         string[4] = 0x08;
258         string[6] = 0xD4;
259         string[7] = 0x3C;
260     }
261     string[5] = 0x0F;
262     echo_send(uart_num, string, 8);
263     ESP_LOGI("MODBUS","Enable operation.");
264 }
265
266 void frequency40()
267 {
268     char string[8];
269     string[0] = 0x01;
270     string[1] = 0x06;
271     string[2] = 0x21;
272     string[3] = 0x36;
273     string[4] = 0x01;
274     string[5] = 0x90;
275     string[6] = 0x62;
276     string[7] = 0x04;

```



```
277     echo_send(uart_num, string, 8);
278     //ESP_LOGI("MODBUS","Frequency.");
279 }
280
281 void current()
282 {
283     char string[8];
284     string[0] = 0x01;
285     string[1] = 0x03;
286     string[2] = 0x0C;
287     string[3] = 0x84;
288     string[4] = 0x00;
289     string[5] = 0x01;
290     string[6] = 0xC7;
291     string[7] = 0x73;
292     echo_send(uart_num, string, 8);
293     //ESP_LOGI("MODBUS","current.");
294 }
295
296 void frequency60()
297 {
298     char string[8];
299     string[0] = 0x01;
300     string[1] = 0x06;
301     string[2] = 0x21;
302     string[3] = 0x36;
303     string[4] = 0x02;
304     string[5] = 0x58;
305     string[6] = 0x63;
306     string[7] = 0x62;
307     echo_send(uart_num, string, 8);
308     ESP_LOGI("MODBUS","Frequency.");
309 }
310
311 void ReadFrequency()
312 {
313     char string[8];
314     string[0] = 0x01;
315     string[1] = 0x03;
316     string[2] = 0x21;
317     string[3] = 0x36;
318     string[4] = 0x00;
319     string[5] = 0x01;
320     string[6] = 0x6E;
321     string[7] = 0x38;
322     echo_send(uart_num, string, 8);
323     //ESP_LOGI("MODBUS","ReadFrequency.");
324 }
325
326 void EnviarFaultStateReset()
327 {
328     char string[8];
329     string[0] = 0x01;
330     string[1] = 0x06;
331     string[2] = 0x21;
332     string[3] = 0x35;
333     string[4] = 0x00;
334     string[5] = 0x80;
335     string[6] = 0x92;
336     string[7] = 0x58;
337     echo_send(uart_num, string, 8);
338     ESP_LOGI("MODBUS","Fault reset enviado.");
339 }
340
341 void EnviarShutdown()
342 {
343     char string[8];
344     string[0] = 0x01;
345     string[1] = 0x06;
```

```

346     string[2] = 0x21;
347     string[3] = 0x35;
348     string[4] = 0x00;
349     string[5] = 0x06;
350     string[6] = 0x13;
351     string[7] = 0xFA;
352     echo_send(uart_num, string, 8);
353     ESP_LOGI("MODBUS","Shutdown enviado.");
354 }
355
356 void EnviarSwitchOn()
357 {
358     char string[8];
359     string[0] = 0x01;
360     string[1] = 0x06;
361     string[2] = 0x21;
362     string[3] = 0x35;
363     string[4] = 0x00;
364     string[5] = 0x07;
365     string[6] = 0xD2;
366     string[7] = 0x3A;
367     echo_send(uart_num, string, 8);
368     ESP_LOGI("MODBUS","Switchon enviado.");
369 }
370
371 void LerStatus()
372 {
373     char string[8];
374     string[0] = 0x01;
375     string[1] = 0x03;
376     string[2] = 0x0C;
377     string[3] = 0x81;
378     string[4] = 0x00;
379     string[5] = 0x01;
380     string[6] = 0xD7;
381     string[7] = 0x72;
382     echo_send(uart_num, string, 8);
383     //ESP_LOGI("MODBUS","Ler status enviado.");
384 }
385
386 void LerDados(uint8_t parametro)
387 {
388     // Allocate buffers for UART
389     //ESP_LOGI("UART", "Esperando dados...");
390     uint8_t* data = (uint8_t*) malloc(BUF_SIZE);
391     int len = 0;
392     while(len==0)
393     {
394         len = uart_read_bytes(uart_num, data, BUF_SIZE, PACKET_READ_TICS);
395         //Write data back to UART
396         if (len > 0) {
397             //ESP_LOGI("UART", "Received %u bytes:", len);
398             for (int i = 0; i < len; i++) {
399                 //ESP_LOGI("UART","0x%.2X ", (uint8_t)data[i]);
400             }
401         }
402     }
403     if(parametro == 0) // CORRENTE
404     {
405         //static float maiorcorrente = 0; //por ser estática é uma variável que guarda o valor
406         anterior, ela só é 0 no momento da criação
407         float correntereal;
408         uint16_t corrente = (uint8_t)data[3];
409         corrente = corrente<<8;
410         corrente = corrente + data[4];
411         correntereal=corrente;
412         CorrenteMotor = correntereal/10;
413         if(CorrenteMotor>MaiorCorrente)
414         {

```

```

415         MaiorCorrente=CorrenteMotor;
416     }
417     printf("%f\n maiorcorrente",MaiorCorrente);
418 }
419 else if(parametro == 1) // Status
420 {
421     uint8_t Estado1 = (uint8_t)data[4];
422     Estado1 = Estado1 << 5;
423     Estado1 = Estado1 >> 7;
424     Estado = Estado1;
425     uint8_t SentidoRotacao1 = (uint8_t)data[3];
426     SentidoRotacao = SentidoRotacao1 >> 7;
427 }
428 else if(parametro == 2) // frequência
429 {
430     uint16_t frequencia1 = (uint16_t)data[3];
431     frequencia1 = frequencia1<<8;
432     frequencia1 = frequencia1 + data[4];
433     Frequencia = frequencia1/10;
434 }
435 }
436 }
437
438 uint8_t ConectadoWifi = 0;
439
440 #define EXAMPLE_WIFI_SSID CONFIG_EXAMPLE_WIFI_SSID
441 #define EXAMPLE_EAP_METHOD CONFIG_EXAMPLE_EAP_METHOD
442 #define EXAMPLE_EAP_ID CONFIG_EXAMPLE_EAP_ID
443 #define EXAMPLE_EAP_USERNAME CONFIG_EXAMPLE_EAP_USERNAME
444 #define EXAMPLE_EAP_PASSWORD CONFIG_EXAMPLE_EAP_PASSWORD
445
446 static EventGroupHandle_t wifi_event_group;
447
448 static esp_netif_t *sta_netif = NULL;
449
450 const int CONNECTED_BIT = BIT0;
451
452 static const char *TAG = "example";
453
454 #ifdef CONFIG_EXAMPLE_VALIDATE_SERVER_CERT
455 extern uint8_t ca_pem_start[] asm("_binary_ca_pem_start");
456 extern uint8_t ca_pem_end[] asm("_binary_ca_pem_end");
457 #endif /* CONFIG_EXAMPLE_VALIDATE_SERVER_CERT */
458
459 #ifdef CONFIG_EXAMPLE_EAP_METHOD_TLS
460 extern uint8_t client_crt_start[] asm("_binary_client_crt_start");
461 extern uint8_t client_crt_end[] asm("_binary_client_crt_end");
462 extern uint8_t client_key_start[] asm("_binary_client_key_start");
463 extern uint8_t client_key_end[] asm("_binary_client_key_end");
464 #endif /* CONFIG_EXAMPLE_EAP_METHOD_TLS */
465
466 #if defined CONFIG_EXAMPLE_EAP_METHOD_TTLS
467 esp_eap_ttls_phase2_types TTLS_PHASE2_METHOD = CONFIG_EXAMPLE_EAP_METHOD_TTLS_PHASE_2;
468 #endif /* CONFIG_EXAMPLE_EAP_METHOD_TTLS */
469
470 static httpd_handle_t server = NULL;
471
472 static esp_err_t dados_get_handler(httpd_req_t *req)
473 {
474     httpd_resp_sendstr_chunk(req, "<!DOCTYPE html>");
475     httpd_resp_sendstr_chunk(req, "<html>");
476     httpd_resp_sendstr_chunk(req, "<head>");
477     httpd_resp_sendstr_chunk(req, "<meta http-equiv=\"Content-Type\" content=\"text/html; charset=UTF-
478 8\" />");
479     httpd_resp_sendstr_chunk(req, "<style type=\"text/css\">");
480     httpd_resp_sendstr_chunk(req, "body {");
481     httpd_resp_sendstr_chunk(req, "    margin: 0;");
482     httpd_resp_sendstr_chunk(req, "}");
483     httpd_resp_sendstr_chunk(req, "canvas {");

```

```

484     httpd_resp_sendstr_chunk(req, "    display: block;");
485     httpd_resp_sendstr_chunk(req, "    margin: 40px auto;");
486     httpd_resp_sendstr_chunk(req, "}");
487     httpd_resp_sendstr_chunk(req, "</style>");
488     httpd_resp_sendstr_chunk(req, "</head>");
489     httpd_resp_sendstr_chunk(req, "<body>");
490     httpd_resp_sendstr_chunk(req, "<h1 style=\"text-align: center;\">Gr&aacute;fico:</h1>");
491     httpd_resp_sendstr_chunk(req, "<canvas id=\"my-canvas\" width=\"1200\" height=\"400\"></canvas>");
492     httpd_resp_sendstr_chunk(req, "<script type=\"text/javascript\" charset=\"utf-8\">");
493     httpd_resp_sendstr_chunk(req, "function drawPoint(context, x, y, label, color, size) {");
494     httpd_resp_sendstr_chunk(req, "    if (color == null) {");
495     httpd_resp_sendstr_chunk(req, "        color = '#000';");
496     httpd_resp_sendstr_chunk(req, "    }");
497     httpd_resp_sendstr_chunk(req, "    if (size == null) {");
498     httpd_resp_sendstr_chunk(req, "        size = 5;");
499     httpd_resp_sendstr_chunk(req, "    }");
500     httpd_resp_sendstr_chunk(req, "    var radius = 0.5 * size;");
501     httpd_resp_sendstr_chunk(req, "    var pointX = Math.round(x - radius);");
502     httpd_resp_sendstr_chunk(req, "    var pointY = Math.round(y - radius);");
503     httpd_resp_sendstr_chunk(req, "    context.beginPath();");
504     httpd_resp_sendstr_chunk(req, "    context.fillStyle = color;");
505     httpd_resp_sendstr_chunk(req, "    context.fillRect(pointX, pointY, size, size);");
506     httpd_resp_sendstr_chunk(req, "    context.fill();");
507     httpd_resp_sendstr_chunk(req, "    if (label) {");
508     httpd_resp_sendstr_chunk(req, "        var textX = Math.round(x);");
509     httpd_resp_sendstr_chunk(req, "        var textY = Math.round(pointY - 5);");
510     httpd_resp_sendstr_chunk(req, "        context.font = 'Italic 14px Arial';");
511     httpd_resp_sendstr_chunk(req, "        context.fillStyle = color;");
512     httpd_resp_sendstr_chunk(req, "        context.textAlign = 'center';");
513     httpd_resp_sendstr_chunk(req, "        context.fillText(label, textX, textY);");
514     httpd_resp_sendstr_chunk(req, "    }");
515     httpd_resp_sendstr_chunk(req, "}");
516     httpd_resp_sendstr_chunk(req, "var grid_size = 35;");
517     httpd_resp_sendstr_chunk(req, "var x_axis_distance_grid_lines = 10;");
518     httpd_resp_sendstr_chunk(req, "var y_axis_distance_grid_lines = 1;");
519     httpd_resp_sendstr_chunk(req, "var x_axis_starting_point = { number: 0.3, suffix: ' ' };");
520     httpd_resp_sendstr_chunk(req, "var y_axis_starting_point = { number: 0.3, suffix: ' ' };");
521     httpd_resp_sendstr_chunk(req, "var canvas = document.getElementById(\"my-canvas\");");
522     httpd_resp_sendstr_chunk(req, "var ctx = canvas.getContext(\"2d\");");
523     httpd_resp_sendstr_chunk(req, "var canvas_width = canvas.width;");
524     httpd_resp_sendstr_chunk(req, "var canvas_height = canvas.height;");
525     httpd_resp_sendstr_chunk(req, "var num_lines_x = Math.floor(canvas_height/grid_size);");
526     httpd_resp_sendstr_chunk(req, "var num_lines_y = Math.floor(canvas_width/grid_size);");
527     httpd_resp_sendstr_chunk(req, "const dadoscorrente = [");
528     for(unsigned int i = 0; i<20; i++)
529     {
530         httpd_resp_sendstr_chunk(req, GraficoHorarios[i]);
531         if(i<19)
532         {
533             httpd_resp_sendstr_chunk(req, ",");
534         }
535         if(i==19)
536         {
537             httpd_resp_sendstr_chunk(req, "];");
538         }
539     }
540
541     httpd_resp_sendstr_chunk(req, "for(var i=0; i<=num_lines_x; i++) {");
542     httpd_resp_sendstr_chunk(req, "    ctx.beginPath();");
543     httpd_resp_sendstr_chunk(req, "    ctx.lineWidth = 1;");
544     httpd_resp_sendstr_chunk(req, "    if(i == x_axis_distance_grid_lines)");
545     httpd_resp_sendstr_chunk(req, "        ctx.strokeStyle = \"#000000\";");
546     httpd_resp_sendstr_chunk(req, "    else");
547     httpd_resp_sendstr_chunk(req, "        ctx.strokeStyle = \"#e9e9e9\";");
548     httpd_resp_sendstr_chunk(req, "    if(i == num_lines_x)");
549     httpd_resp_sendstr_chunk(req, "        ctx.moveTo(0, grid_size*i);");
550     httpd_resp_sendstr_chunk(req, "        ctx.lineTo(canvas_width, grid_size*i);");
551     httpd_resp_sendstr_chunk(req, "    }");
552     httpd_resp_sendstr_chunk(req, "    else");

```

```

553     httpd_resp_sendstr_chunk(req, "        ctx.moveTo(0, grid_size*i+0.5);");
554     httpd_resp_sendstr_chunk(req, "        ctx.lineTo(canvas_width, grid_size*i+0.5);");
555     httpd_resp_sendstr_chunk(req, "    }");
556     httpd_resp_sendstr_chunk(req, "    ctx.stroke();");
557     httpd_resp_sendstr_chunk(req, "});");
558     httpd_resp_sendstr_chunk(req, "for(i=0; i<=num_lines_y; i++) {");
559     httpd_resp_sendstr_chunk(req, "    ctx.beginPath();");
560     httpd_resp_sendstr_chunk(req, "    ctx.lineWidth = 1;");
561     httpd_resp_sendstr_chunk(req, "    if(i == y_axis_distance_grid_lines)");
562     httpd_resp_sendstr_chunk(req, "        ctx.strokeStyle = \"#000000\");");
563     httpd_resp_sendstr_chunk(req, "    else");
564     httpd_resp_sendstr_chunk(req, "        ctx.strokeStyle = \"#e9e9e9\");");
565     httpd_resp_sendstr_chunk(req, "    if(i == num_lines_y) {");
566     httpd_resp_sendstr_chunk(req, "        ctx.moveTo(grid_size*i, 0);");
567     httpd_resp_sendstr_chunk(req, "        ctx.lineTo(grid_size*i, canvas_height);");
568     httpd_resp_sendstr_chunk(req, "    }");
569     httpd_resp_sendstr_chunk(req, "    else {");
570     httpd_resp_sendstr_chunk(req, "        ctx.moveTo(60*i+0.5, 0);");
571     httpd_resp_sendstr_chunk(req, "        ctx.lineTo(60*i+0.5, canvas_height);");
572     httpd_resp_sendstr_chunk(req, "    }");
573     httpd_resp_sendstr_chunk(req, "    ctx.stroke();");
574     httpd_resp_sendstr_chunk(req, "});");
575     httpd_resp_sendstr_chunk(req, "    ctx.translate(y_axis_distance_grid_lines*60,
576 x_axis_distance_grid_lines*grid_size);");
577     httpd_resp_sendstr_chunk(req, "for(i=1; i<(num_lines_y - y_axis_distance_grid_lines); i++) {");
578     httpd_resp_sendstr_chunk(req, "    ctx.beginPath();");
579     httpd_resp_sendstr_chunk(req, "    ctx.lineWidth = 1;");
580     httpd_resp_sendstr_chunk(req, "    ctx.strokeStyle = \"#000000\");");
581     httpd_resp_sendstr_chunk(req, "    ctx.moveTo(60*i+0.5, -3);");
582     httpd_resp_sendstr_chunk(req, "    ctx.lineTo(60*i+0.5, 3);");
583     httpd_resp_sendstr_chunk(req, "    ctx.stroke();");
584     httpd_resp_sendstr_chunk(req, "    ctx.font = '12px Arial';");
585     httpd_resp_sendstr_chunk(req, "    ctx.textAlign = 'center';");
586     httpd_resp_sendstr_chunk(req, "    ctx.fillText(dadoscorrente[i], 60*i -2, 15);");
587     httpd_resp_sendstr_chunk(req, "});");
588     httpd_resp_sendstr_chunk(req, "for(i=1; i<y_axis_distance_grid_lines; i++) {");
589     httpd_resp_sendstr_chunk(req, "    ctx.beginPath();");
590     httpd_resp_sendstr_chunk(req, "    ctx.lineWidth = 1;");
591     httpd_resp_sendstr_chunk(req, "    ctx.strokeStyle = \"#000000\");");
592     httpd_resp_sendstr_chunk(req, "    ctx.moveTo(-grid_size*i+0.5, -3);");
593     httpd_resp_sendstr_chunk(req, "    ctx.lineTo(-grid_size*i+0.5, 3);");
594     httpd_resp_sendstr_chunk(req, "    ctx.stroke();");
595     httpd_resp_sendstr_chunk(req, "    ctx.font = '12px Arial';");
596     httpd_resp_sendstr_chunk(req, "    ctx.textAlign = 'end';");
597     httpd_resp_sendstr_chunk(req, "    ctx.fillText(-x_axis_starting_point.number*i +
598 x_axis_starting_point.suffix, -grid_size*i+3, 15);");
599     httpd_resp_sendstr_chunk(req, "});");
600     httpd_resp_sendstr_chunk(req, "for(i=1; i<(num_lines_x - x_axis_distance_grid_lines); i++) {");
601     httpd_resp_sendstr_chunk(req, "    ctx.beginPath();");
602     httpd_resp_sendstr_chunk(req, "    ctx.lineWidth = 1;");
603     httpd_resp_sendstr_chunk(req, "    ctx.strokeStyle = \"#000000\");");
604     httpd_resp_sendstr_chunk(req, "    ctx.moveTo(-3, grid_size*i+0.5);");
605     httpd_resp_sendstr_chunk(req, "    ctx.lineTo(3, grid_size*i+0.5);");
606     httpd_resp_sendstr_chunk(req, "    ctx.stroke();");
607     httpd_resp_sendstr_chunk(req, "    ctx.font = '12px Arial';");
608     httpd_resp_sendstr_chunk(req, "    ctx.textAlign = 'start';");
609     httpd_resp_sendstr_chunk(req, "    ctx.fillText(-y_axis_starting_point.number*i +
610 y_axis_starting_point.suffix, 8, grid_size*i+3);");
611     httpd_resp_sendstr_chunk(req, "});");
612     httpd_resp_sendstr_chunk(req, "for(i=1; i<x_axis_distance_grid_lines; i++) {");
613     httpd_resp_sendstr_chunk(req, "    ctx.beginPath();");
614     httpd_resp_sendstr_chunk(req, "    ctx.lineWidth = 1;");
615     httpd_resp_sendstr_chunk(req, "    ctx.strokeStyle = \"#000000\");");
616     httpd_resp_sendstr_chunk(req, "    ctx.moveTo(-3, -grid_size*i+0.5);");
617     httpd_resp_sendstr_chunk(req, "    ctx.lineTo(3, -grid_size*i+0.5);");
618     httpd_resp_sendstr_chunk(req, "    ctx.stroke();");
619     httpd_resp_sendstr_chunk(req, "    ctx.font = '12px Arial';");
620     httpd_resp_sendstr_chunk(req, "    ctx.textAlign = 'start';");

```

```

621     httpd_resp_sendstr_chunk(req, "    ctx.fillText((y_axis_starting_point.number*i).toFixed(2) +
622 y_axis_starting_point.suffix, 8, -grid_size*i+3);");
623     httpd_resp_sendstr_chunk(req, "}");
624     for(unsigned int i = 0; i < 18; i++)
625     {
626         float x = 60*(i+1), y = GraficoCorrente[i]*(-35/0.3);
627         char temp[20] = "";
628         sprintf(temp,"%f",x);
629         httpd_resp_sendstr_chunk(req, "drawPoint(ctx, ");
630         httpd_resp_sendstr_chunk(req, temp);
631         httpd_resp_sendstr_chunk(req, ",");
632         sprintf(temp,"%f",y);
633         httpd_resp_sendstr_chunk(req, temp);
634         httpd_resp_sendstr_chunk(req, ", \"\\\", \"#FF0000\\\", 5);");
635     }
636     httpd_resp_sendstr_chunk(req, "var ctx = canvas.getContext(\"2d\");");
637     httpd_resp_sendstr_chunk(req, "ctx.fillStyle = \"black\";");
638     httpd_resp_sendstr_chunk(req, "ctx.rotate(-1.57075);");
639     httpd_resp_sendstr_chunk(req, "ctx.font = \"20px Arial\";");
640     httpd_resp_sendstr_chunk(req, "ctx.fillText(\"Corrente (A)\", 90, -20);");
641     httpd_resp_sendstr_chunk(req, "ctx.rotate(1.57075);");
642     httpd_resp_sendstr_chunk(req, "ctx.font = \"20px Arial\";");
643     httpd_resp_sendstr_chunk(req, "ctx.fillText(\"Tempo (s)\", 500, 40);");
644     httpd_resp_sendstr_chunk(req, "</script>");
645     httpd_resp_sendstr_chunk(req, "</body>");
646
647     httpd_resp_sendstr_chunk(req, NULL);
648     return ESP_OK;
649 }
650
651 static esp_err_t consumo_get_handler(httpd_req_t *req)
652 {
653     httpd_resp_sendstr_chunk(req, "<!DOCTYPE html>");
654     httpd_resp_sendstr_chunk(req, "<html>");
655     httpd_resp_sendstr_chunk(req, "<head>");
656     httpd_resp_sendstr_chunk(req, "<meta http-equiv=\"Content-Type\" content=\"text/html; charset=UTF-
657 8\" />");
658     httpd_resp_sendstr_chunk(req, "<style type=\"text/css\">");
659     httpd_resp_sendstr_chunk(req, "body {");
660     httpd_resp_sendstr_chunk(req, "    margin: 0;");
661     httpd_resp_sendstr_chunk(req, "}");
662     httpd_resp_sendstr_chunk(req, "canvas {");
663     httpd_resp_sendstr_chunk(req, "    display: block;");
664     httpd_resp_sendstr_chunk(req, "    margin: 40px auto;");
665     httpd_resp_sendstr_chunk(req, "}");
666     httpd_resp_sendstr_chunk(req, "</style>");
667     httpd_resp_sendstr_chunk(req, "</head>");
668     httpd_resp_sendstr_chunk(req, "<body>");
669     httpd_resp_sendstr_chunk(req, "<h1 style=\"text-align: center;\">Gr&aacute;fico:</h1>");
670     httpd_resp_sendstr_chunk(req, "<canvas id=\"my-canvas\" width=\"1200\" height=\"400\"></canvas>");
671     httpd_resp_sendstr_chunk(req, "<script type=\"text/javascript\" charset=\"utf-8\">");
672     httpd_resp_sendstr_chunk(req, "function drawPoint(context, x, y, label, color, size) {");
673     httpd_resp_sendstr_chunk(req, "    if (color == null) {");
674     httpd_resp_sendstr_chunk(req, "        color = '#000';");
675     httpd_resp_sendstr_chunk(req, "    }");
676     httpd_resp_sendstr_chunk(req, "    if (size == null) {");
677     httpd_resp_sendstr_chunk(req, "        size = 5;");
678     httpd_resp_sendstr_chunk(req, "    }");
679     httpd_resp_sendstr_chunk(req, "    var radius = 0.5 * size;");
680     httpd_resp_sendstr_chunk(req, "    var pointX = Math.round(x - radius);");
681     httpd_resp_sendstr_chunk(req, "    var pointY = Math.round(y - radius);");
682     httpd_resp_sendstr_chunk(req, "    context.beginPath();");
683     httpd_resp_sendstr_chunk(req, "    context.fillStyle = color;");
684     httpd_resp_sendstr_chunk(req, "    context.fillRect(pointX, pointY, size, size);");
685     httpd_resp_sendstr_chunk(req, "    context.fill();    ");
686     httpd_resp_sendstr_chunk(req, "    if (label) {");
687     httpd_resp_sendstr_chunk(req, "        var textX = Math.round(x);");
688     httpd_resp_sendstr_chunk(req, "        var textY = Math.round(pointY - 5);");
689     httpd_resp_sendstr_chunk(req, "        context.font = 'Italic 14px Arial';");

```

```

690     httpd_resp_sendstr_chunk(req, "        context.fillStyle = color;");
691     httpd_resp_sendstr_chunk(req, "        context.textAlign = 'center';");
692     httpd_resp_sendstr_chunk(req, "        context.fillText(label, textX, textY);");
693     httpd_resp_sendstr_chunk(req, "    }");
694     httpd_resp_sendstr_chunk(req, "});");
695     httpd_resp_sendstr_chunk(req, "var grid_size = 35;");
696     httpd_resp_sendstr_chunk(req, "var x_axis_distance_grid_lines = 10;");
697     httpd_resp_sendstr_chunk(req, "var y_axis_distance_grid_lines = 1;");
698     httpd_resp_sendstr_chunk(req, "var x_axis_starting_point = { number: 0.2, suffix: ' ' };");
699     httpd_resp_sendstr_chunk(req, "var y_axis_starting_point = { number: 0.2, suffix: ' ' };");
700     httpd_resp_sendstr_chunk(req, "var canvas = document.getElementById(\"my-canvas\");");
701     httpd_resp_sendstr_chunk(req, "var ctx = canvas.getContext(\"2d\");");
702     httpd_resp_sendstr_chunk(req, "var canvas_width = canvas.width;");
703     httpd_resp_sendstr_chunk(req, "var canvas_height = canvas.height;");
704     httpd_resp_sendstr_chunk(req, "var num_lines_x = Math.floor(canvas_height/grid_size);");
705     httpd_resp_sendstr_chunk(req, "var num_lines_y = Math.floor(canvas_width/grid_size);");
706     httpd_resp_sendstr_chunk(req, "const dadoscorrente = [");
707     for(unsigned int i = 0; i<20; i++)
708     {
709         httpd_resp_sendstr_chunk(req, GraficoHorarios[i]);
710         if(i<19)
711         {
712             httpd_resp_sendstr_chunk(req, ",");
713         }
714         if(i==19)
715         {
716             httpd_resp_sendstr_chunk(req, "];");
717         }
718     }
719
720     httpd_resp_sendstr_chunk(req, "for(var i=0; i<=num_lines_x; i++) {");
721     httpd_resp_sendstr_chunk(req, "    ctx.beginPath();");
722     httpd_resp_sendstr_chunk(req, "    ctx.lineWidth = 1; ");
723     httpd_resp_sendstr_chunk(req, "    if(i == x_axis_distance_grid_lines)");
724     httpd_resp_sendstr_chunk(req, "        ctx.strokeStyle = \"#000000\";");
725     httpd_resp_sendstr_chunk(req, "    else");
726     httpd_resp_sendstr_chunk(req, "        ctx.strokeStyle = \"#e9e9e9\";");
727     httpd_resp_sendstr_chunk(req, "    if(i == num_lines_x) {");
728     httpd_resp_sendstr_chunk(req, "        ctx.moveTo(0, grid_size*i);");
729     httpd_resp_sendstr_chunk(req, "        ctx.lineTo(canvas_width, grid_size*i);");
730     httpd_resp_sendstr_chunk(req, "    }");
731     httpd_resp_sendstr_chunk(req, "    else {");
732     httpd_resp_sendstr_chunk(req, "        ctx.moveTo(0, grid_size*i+0.5);");
733     httpd_resp_sendstr_chunk(req, "        ctx.lineTo(canvas_width, grid_size*i+0.5);");
734     httpd_resp_sendstr_chunk(req, "    }");
735     httpd_resp_sendstr_chunk(req, "    ctx.stroke();");
736     httpd_resp_sendstr_chunk(req, "});");
737     httpd_resp_sendstr_chunk(req, "for(i=0; i<=num_lines_y; i++) {");
738     httpd_resp_sendstr_chunk(req, "    ctx.beginPath();");
739     httpd_resp_sendstr_chunk(req, "    ctx.lineWidth = 1;");
740     httpd_resp_sendstr_chunk(req, "    if(i == y_axis_distance_grid_lines)");
741     httpd_resp_sendstr_chunk(req, "        ctx.strokeStyle = \"#000000\";");
742     httpd_resp_sendstr_chunk(req, "    else");
743     httpd_resp_sendstr_chunk(req, "        ctx.strokeStyle = \"#e9e9e9\";");
744     httpd_resp_sendstr_chunk(req, "    if(i == num_lines_y) {");
745     httpd_resp_sendstr_chunk(req, "        ctx.moveTo(grid_size*i, 0);");
746     httpd_resp_sendstr_chunk(req, "        ctx.lineTo(grid_size*i, canvas_height);");
747     httpd_resp_sendstr_chunk(req, "    }");
748     httpd_resp_sendstr_chunk(req, "    else {");
749     httpd_resp_sendstr_chunk(req, "        ctx.moveTo(60*i+0.5, 0);");
750     httpd_resp_sendstr_chunk(req, "        ctx.lineTo(60*i+0.5, canvas_height);");
751     httpd_resp_sendstr_chunk(req, "    }");
752     httpd_resp_sendstr_chunk(req, "    ctx.stroke();");
753     httpd_resp_sendstr_chunk(req, "});");
754     httpd_resp_sendstr_chunk(req, "    ctx.translate(y_axis_distance_grid_lines*60,
755 x_axis_distance_grid_lines*grid_size);");
756     httpd_resp_sendstr_chunk(req, "for(i=1; i<(num_lines_y - y_axis_distance_grid_lines); i++) {");
757     httpd_resp_sendstr_chunk(req, "    ctx.beginPath();");
758     httpd_resp_sendstr_chunk(req, "    ctx.lineWidth = 1;");

```

```

759     httpd_resp_sendstr_chunk(req, "    ctx.strokeStyle = \"#000000\";");
760     httpd_resp_sendstr_chunk(req, "    ctx.moveTo(60*i+0.5, -3);");
761     httpd_resp_sendstr_chunk(req, "    ctx.lineTo(60*i+0.5, 3);");
762     httpd_resp_sendstr_chunk(req, "    ctx.stroke();");
763     httpd_resp_sendstr_chunk(req, "    ctx.font = '12px Arial';");
764     httpd_resp_sendstr_chunk(req, "    ctx.textAlign = 'center';");
765     httpd_resp_sendstr_chunk(req, "    ctx.fillText(dadoscorrente[i], 60*i -2, 15);");
766     httpd_resp_sendstr_chunk(req, "}");
767     httpd_resp_sendstr_chunk(req, "for(i=1; i<y_axis_distance_grid_lines; i++) {");
768     httpd_resp_sendstr_chunk(req, "    ctx.beginPath();");
769     httpd_resp_sendstr_chunk(req, "    ctx.lineWidth = 1;");
770     httpd_resp_sendstr_chunk(req, "    ctx.strokeStyle = \"#000000\";");
771     httpd_resp_sendstr_chunk(req, "    ctx.moveTo(-grid_size*i+0.5, -3);");
772     httpd_resp_sendstr_chunk(req, "    ctx.lineTo(-grid_size*i+0.5, 3);");
773     httpd_resp_sendstr_chunk(req, "    ctx.stroke();");
774     httpd_resp_sendstr_chunk(req, "    ctx.font = '12px Arial';");
775     httpd_resp_sendstr_chunk(req, "    ctx.textAlign = 'end';");
776     httpd_resp_sendstr_chunk(req, "    ctx.fillText(-x_axis_starting_point.number*i +
777 x_axis_starting_point.suffix, -grid_size*i+3, 15);");
778     httpd_resp_sendstr_chunk(req, "}");
779     httpd_resp_sendstr_chunk(req, "for(i=1; i<(num_lines_x - x_axis_distance_grid_lines); i++) {");
780     httpd_resp_sendstr_chunk(req, "    ctx.beginPath();");
781     httpd_resp_sendstr_chunk(req, "    ctx.lineWidth = 1;");
782     httpd_resp_sendstr_chunk(req, "    ctx.strokeStyle = \"#000000\";");
783     httpd_resp_sendstr_chunk(req, "    ctx.moveTo(-3, grid_size*i+0.5);");
784     httpd_resp_sendstr_chunk(req, "    ctx.lineTo(3, grid_size*i+0.5);");
785     httpd_resp_sendstr_chunk(req, "    ctx.stroke();");
786     httpd_resp_sendstr_chunk(req, "    ctx.font = '12px Arial';");
787     httpd_resp_sendstr_chunk(req, "    ctx.textAlign = 'start';");
788     httpd_resp_sendstr_chunk(req, "    ctx.fillText(-y_axis_starting_point.number*i +
789 y_axis_starting_point.suffix, 8, grid_size*i+3);");
790     httpd_resp_sendstr_chunk(req, "}");
791     httpd_resp_sendstr_chunk(req, "for(i=1; i<x_axis_distance_grid_lines; i++) {");
792     httpd_resp_sendstr_chunk(req, "    ctx.beginPath();");
793     httpd_resp_sendstr_chunk(req, "    ctx.lineWidth = 1;");
794     httpd_resp_sendstr_chunk(req, "    ctx.strokeStyle = \"#000000\";");
795     httpd_resp_sendstr_chunk(req, "    ctx.moveTo(-3, -grid_size*i+0.5);");
796     httpd_resp_sendstr_chunk(req, "    ctx.lineTo(3, -grid_size*i+0.5);");
797     httpd_resp_sendstr_chunk(req, "    ctx.stroke();");
798     httpd_resp_sendstr_chunk(req, "    ctx.font = '12px Arial';");
799     httpd_resp_sendstr_chunk(req, "    ctx.textAlign = 'start';");
800     httpd_resp_sendstr_chunk(req, "    ctx.fillText((y_axis_starting_point.number*i).toFixed(2) +
801 y_axis_starting_point.suffix, 8, -grid_size*i+3);");
802     httpd_resp_sendstr_chunk(req, "}");
803     for(unsigned int i = 0; i < 18; i++)
804     {
805         float x = 60*(i+1), y = GraficoConsumo[i]*(-35/0.2);
806         char temp[20] = "";
807         sprintf(temp, "%f", x);
808         httpd_resp_sendstr_chunk(req, "drawPoint(ctx, ");
809         httpd_resp_sendstr_chunk(req, temp);
810         httpd_resp_sendstr_chunk(req, ",");
811         sprintf(temp, "%f", y);
812         httpd_resp_sendstr_chunk(req, temp);
813         httpd_resp_sendstr_chunk(req, ", \"\\\", \"#FF0000\", 5);");
814     }
815     httpd_resp_sendstr_chunk(req, "var ctx = canvas.getContext(\"2d\");");
816     httpd_resp_sendstr_chunk(req, "ctx.fillStyle = \"black\";");
817     httpd_resp_sendstr_chunk(req, "ctx.rotate(-1.57075);");
818     httpd_resp_sendstr_chunk(req, "ctx.font = \"20px Arial\";");
819     httpd_resp_sendstr_chunk(req, "ctx.fillText(\"Consumo (KVAh)\", 90, -20);");
820     httpd_resp_sendstr_chunk(req, "ctx.rotate(1.57075);");
821     httpd_resp_sendstr_chunk(req, "ctx.font = \"20px Arial\";");
822     httpd_resp_sendstr_chunk(req, "ctx.fillText(\"Tempo (s)\", 500, 40);");
823     httpd_resp_sendstr_chunk(req, "</script>");
824     httpd_resp_sendstr_chunk(req, "</body>");
825
826     httpd_resp_sendstr_chunk(req, NULL);
827     return ESP_OK;

```



```

828 }
829
830 /* An HTTP GET handler */
831 static esp_err_t hello_get_handler(httpd_req_t *req)
832 {
833     char string[10] = "";
834     //sprintf(string, "%f", CorrenteMotor);
835     char string1[513];
836     char resultado[50];
837     sprintf(string1, "%s", req->uri);
838     GetURI(string1, resultado);
839     printf(resultado);
840     if(Estado == 0)
841     {
842         if(strcmp(resultado, "LigarDireto")==0) //tem que fazer como string
843         {
844             LigarMotor = 1;
845             LigarMotorSentido=0;
846         }
847         else if(strcmp(resultado, "LigarReverso")==0) //tem que fazer como string
848         {
849             LigarMotor = 1;
850             LigarMotorSentido=1;
851         }
852     }
853     else if(Estado == 1)
854     {
855         if(strcmp(resultado, "Desligar")==0)
856         {
857             LigarMotor = 0;
858         }
859     }
860
861     //httpd_resp_sendstr_chunk(req, "Corrente do motor:<br>");
862     httpd_resp_sendstr_chunk(req, "<h1 style=\"text-align: left;\">Inversor</h1>");
863     httpd_resp_sendstr_chunk(req, "<p><span style=\"color:
864 #ff0000;\"><strong>A&ccedil;&atilde;o</strong></span></p>");
865     httpd_resp_sendstr_chunk(req, "<p>Escolha uma Op&ccedil;&atilde;o</p>");
866     httpd_resp_sendstr_chunk(req, "<form action=\"/hello\">");
867     httpd_resp_sendstr_chunk(req, "<label for=\"Selecao\"></label>");
868     httpd_resp_sendstr_chunk(req, "<select name=\"Selecao\" id=\"Selecao\">");
869     httpd_resp_sendstr_chunk(req, "<option value=\"LigarDireto\">Ligar Direto</option>");
870     httpd_resp_sendstr_chunk(req, "<option value=\"LigarReverso\">Ligar Reverso</option>");
871     httpd_resp_sendstr_chunk(req, "<option value=\"Desligar\">Desligar</option>");
872     httpd_resp_sendstr_chunk(req, "</select>");
873     httpd_resp_sendstr_chunk(req, "<br><br>");
874     httpd_resp_sendstr_chunk(req, "<input type=\"submit\" value=\"Enviar\">");
875     httpd_resp_sendstr_chunk(req, "</form>");
876     httpd_resp_sendstr_chunk(req, "<h4><span style=\"color:
877 #0000ff;\"><strong>Status</strong></span></h4>");
878     if(Estado==1)
879     {
880         httpd_resp_sendstr_chunk(req, "<p>Estado(on/off): ON</p>");
881     }
882     else
883     {
884         httpd_resp_sendstr_chunk(req, "<p>Estado(on/off): OFF</p>");
885     }
886
887     if(SentidoRotacao==0)
888     {
889         httpd_resp_sendstr_chunk(req, "<p>Sentido de Rota&ccedil;&atilde;o: Direto</p>");
890     }
891     else
892     {
893         httpd_resp_sendstr_chunk(req, "<p>Sentido de Rota&ccedil;&atilde;o: Reverso</p>");
894     }
895
896     httpd_resp_sendstr_chunk(req, "<p>Corrente: ");

```

```

897     //char string[10];
898     sprintf(string,"%03f",CorrenteMotor);
899     httpd_resp_sendstr_chunk(req, string);
900     httpd_resp_sendstr_chunk(req, " A</p>");
901     sprintf(string,"%03f",Frequencia);
902     httpd_resp_sendstr_chunk(req, "<p>Frenqu&ecirc;ncia de Opera&ccedil;&atilde;o: ");
903     httpd_resp_sendstr_chunk(req, string);
904     httpd_resp_sendstr_chunk(req, " Hz</p>");
905     httpd_resp_sendstr_chunk(req, NULL);
906     return ESP_OK;
907 }
908
909 static const httpd_uri_t hello = {
910     .uri      = "/hello",
911     .method   = HTTP_GET,
912     .handler  = hello_get_handler,
913     /* Let's pass response string in user
914      * context to demonstrate it's usage */
915     .user_ctx = "Hello World!"
916 };
917
918 static const httpd_uri_t dados = {
919     .uri      = "/dados",
920     .method   = HTTP_GET,
921     .handler  = dados_get_handler,
922     /* Let's pass response string in user
923      * context to demonstrate it's usage */
924     .user_ctx = "Hello World!"
925 };
926
927 static const httpd_uri_t consumopag = {
928     .uri      = "/consumo",
929     .method   = HTTP_GET,
930     .handler  = consumo_get_handler,
931     /* Let's pass response string in user
932      * context to demonstrate it's usage */
933     .user_ctx = "Hello World!"
934 };
935
936 esp_err_t http_404_error_handler(httpd_req_t *req, httpd_err_code_t err)
937 {
938     if (strcmp("/hello", req->uri) == 0) {
939         httpd_resp_send_err(req, HTTPD_404_NOT_FOUND, "/hello URI is not available");
940         /* Return ESP_OK to keep underlying socket open */
941         return ESP_OK;
942     } else if (strcmp("/echo", req->uri) == 0) {
943         httpd_resp_send_err(req, HTTPD_404_NOT_FOUND, "/echo URI is not available");
944         /* Return ESP_FAIL to close underlying socket */
945         return ESP_FAIL;
946     }
947     /* For any other URI send 404 and close socket */
948     httpd_resp_send_err(req, HTTPD_404_NOT_FOUND, "Some 404 error message");
949     return ESP_FAIL;
950 }
951
952 static httpd_handle_t start_webserver(void)
953 {
954     httpd_handle_t server = NULL;
955     httpd_config_t config = HTTPD_DEFAULT_CONFIG();
956     config.lru_purge_enable = true;
957
958     // Start the httpd server
959     ESP_LOGI(TAG, "Starting server on port: '%d'", config.server_port); //aqui inicia o servidor e
960     cadastra as páginas web
961     if (httpd_start(&server, &config) == ESP_OK) {
962         // Set URI handlers
963         ESP_LOGI(TAG, "Registering URI handlers");
964         httpd_register_uri_handler(server, &hello);
965         httpd_register_uri_handler(server, &dados);

```

```

966     httpd_register_uri_handler(server, &consumopag);
967     #if CONFIG_EXAMPLE_BASIC_AUTH
968     httpd_register_basic_auth(server);
969     #endif
970     return server;
971 }
972 ESP_LOGI(TAG, "Error starting server!");
973 return NULL;
974 }
975
976 static void event_handler(void* arg, esp_event_base_t event_base,
977                          int32_t event_id, void* event_data)
978 {
979     if (event_base == WIFI_EVENT && event_id == WIFI_EVENT_STA_START) { //quando inicia o periférico
980         ConectadoWifi = 0;
981         esp_wifi_connect();
982     } else if (event_base == WIFI_EVENT && event_id == WIFI_EVENT_STA_DISCONNECTED) { //quando
983 desconecta da rede
984         ConectadoWifi = 0;
985         esp_wifi_connect();
986         if(MODOWIFI == 1)
987         {
988             xEventGroupClearBits(wifi_event_group, CONNECTED_BIT);
989         }
990         else
991         {
992             xEventGroupClearBits(s_wifi_event_group, CONNECTED_BIT);
993         }
994     } else if (event_base == IP_EVENT && event_id == IP_EVENT_STA_GOT_IP) {
995         ConectadoWifi = 1;
996         printf("Conectou no wifi e iniciou servidor.");
997         server = start_webserver();
998         if(MODOWIFI == 1)
999         {
1000             xEventGroupSetBits(wifi_event_group, CONNECTED_BIT);
1001         }
1002         else
1003         {
1004             xEventGroupSetBits(s_wifi_event_group, CONNECTED_BIT);
1005         }
1006     }
1007 }
1008
1009 void wifi_init_sta(void)
1010 {
1011     s_wifi_event_group = xEventGroupCreate();
1012
1013     ESP_ERROR_CHECK(esp_netif_init());
1014
1015     ESP_ERROR_CHECK(esp_event_loop_create_default());
1016     esp_netif_create_default_wifi_sta();
1017
1018     wifi_init_config_t cfg = WIFI_INIT_CONFIG_DEFAULT();
1019     ESP_ERROR_CHECK(esp_wifi_init(&cfg));
1020
1021     esp_event_handler_instance_t instance_any_id;
1022     esp_event_handler_instance_t instance_got_ip;
1023     ESP_ERROR_CHECK(esp_event_handler_instance_register(WIFI_EVENT,
1024                                                         ESP_EVENT_ANY_ID,
1025                                                         &event_handler,
1026                                                         NULL,
1027                                                         &instance_any_id));
1028     ESP_ERROR_CHECK(esp_event_handler_instance_register(IP_EVENT,
1029                                                         IP_EVENT_STA_GOT_IP,
1030                                                         &event_handler,
1031                                                         NULL,
1032                                                         &instance_got_ip));
1033
1034     wifi_config_t wifi_config = {

```

```

1035     .sta = {
1036         .ssid = EXAMPLE_ESP_WIFI_SSID,
1037         .password = EXAMPLE_ESP_WIFI_PASS,
1038         /* Setting a password implies station will connect to all security modes including WEP/WPA.
1039          * However these modes are deprecated and not advisable to be used. Incase your Access
1040 point
1041          * doesn't support WPA2, these mode can be enabled by commenting below line */
1042         .threshold.authmode = ESP_WIFI_SCAN_AUTH_MODE_THRESHOLD,
1043     },
1044 };
1045 ESP_ERROR_CHECK(esp_wifi_set_mode(WIFI_MODE_STA) );
1046 ESP_ERROR_CHECK(esp_wifi_set_config(WIFI_IF_STA, &wifi_config) );
1047 ESP_ERROR_CHECK(esp_wifi_start() );
1048
1049 ESP_LOGI(TAG, "wifi_init_sta finished.");
1050
1051 /* Waiting until either the connection is established (WIFI_CONNECTED_BIT) or connection failed for
1052 the maximum
1053 * number of re-tries (WIFI_FAIL_BIT). The bits are set by event_handler() (see above) */
1054 EventBits_t bits = xEventGroupWaitBits(s_wifi_event_group,
1055     WIFI_CONNECTED_BIT | WIFI_FAIL_BIT,
1056     pdFALSE,
1057     pdFALSE,
1058     portMAX_DELAY);
1059
1060 /* xEventGroupWaitBits() returns the bits before the call returned, hence we can test which event
1061 actually
1062 * happened. */
1063 if (bits & WIFI_CONNECTED_BIT) {
1064     ESP_LOGI(TAG, "connected to ap SSID:%s password:%s",
1065         EXAMPLE_ESP_WIFI_SSID, EXAMPLE_ESP_WIFI_PASS);
1066 } else if (bits & WIFI_FAIL_BIT) {
1067     ESP_LOGI(TAG, "Failed to connect to SSID:%s, password:%s",
1068         EXAMPLE_ESP_WIFI_SSID, EXAMPLE_ESP_WIFI_PASS);
1069 } else {
1070     ESP_LOGE(TAG, "UNEXPECTED EVENT");
1071 }
1072 }
1073
1074 static void initialise_wifi(void)
1075 {
1076 #ifdef CONFIG_EXAMPLE_VALIDATE_SERVER_CERT
1077     unsigned int ca_pem_bytes = ca_pem_end - ca_pem_start;
1078 #endif /* CONFIG_EXAMPLE_VALIDATE_SERVER_CERT */
1079
1080 #ifdef CONFIG_EXAMPLE_EAP_METHOD_TLS
1081     unsigned int client_crt_bytes = client_crt_end - client_crt_start;
1082     unsigned int client_key_bytes = client_key_end - client_key_start;
1083 #endif /* CONFIG_EXAMPLE_EAP_METHOD_TLS */
1084
1085     ESP_ERROR_CHECK(esp_netif_init());
1086     wifi_event_group = xEventGroupCreate();
1087     ESP_ERROR_CHECK(esp_event_loop_create_default());
1088     sta_netif = esp_netif_create_default_wifi_sta();
1089     assert(sta_netif);
1090
1091     wifi_init_config_t cfg = WIFI_INIT_CONFIG_DEFAULT();
1092     ESP_ERROR_CHECK( esp_wifi_init(&cfg) );
1093     ESP_ERROR_CHECK( esp_event_handler_register(WIFI_EVENT, ESP_EVENT_ANY_ID, &event_handler, NULL) );
1094     ESP_ERROR_CHECK( esp_event_handler_register(IP_EVENT, IP_EVENT_STA_GOT_IP, &event_handler, NULL) );
1095     ESP_ERROR_CHECK( esp_wifi_set_storage(WIFI_STORAGE_RAM) );
1096     wifi_config_t wifi_config = {
1097         .sta = {
1098             .ssid = EXAMPLE_WIFI_SSID,
1099 #if defined (CONFIG_EXAMPLE_WPA3_192BIT_ENTERPRISE)
1100             .pmf_cfg = {
1101                 .required = true
1102             },
1103 #endif

```

```

1104     },
1105 };
1106 ESP_LOGI(TAG, "Setting WiFi configuration SSID %s...", wifi_config.sta.ssid);
1107 ESP_ERROR_CHECK( esp_wifi_set_mode(WIFI_MODE_STA) );
1108 ESP_ERROR_CHECK( esp_wifi_set_config(WIFI_IF_STA, &wifi_config) );
1109 ESP_ERROR_CHECK( esp_wifi_sta_wpa2_ent_set_identity((uint8_t *)EXAMPLE_EAP_ID,
1110 strlen(EXAMPLE_EAP_ID)) );
1111
1112 #if defined(CONFIG_EXAMPLE_VALIDATE_SERVER_CERT) || \
1113     defined(CONFIG_EXAMPLE_WPA3_ENTERPRISE) || \
1114     defined(CONFIG_EXAMPLE_WPA3_192BIT_ENTERPRISE)
1115     ESP_ERROR_CHECK( esp_wifi_sta_wpa2_ent_set_ca_cert(ca_pem_start, ca_pem_bytes) );
1116 #endif /* CONFIG_EXAMPLE_VALIDATE_SERVER_CERT */ /* EXAMPLE_WPA3_ENTERPRISE */
1117
1118 #ifdef CONFIG_EXAMPLE_EAP_METHOD_TLS
1119     ESP_ERROR_CHECK( esp_wifi_sta_wpa2_ent_set_cert_key(client_cert_start, client_cert_bytes,\
1120 client_key_start, client_key_bytes, NULL, 0) );
1121 #endif /* CONFIG_EXAMPLE_EAP_METHOD_TLS */
1122
1123 #if defined CONFIG_EXAMPLE_EAP_METHOD_PEAP || CONFIG_EXAMPLE_EAP_METHOD_TTLS
1124     ESP_ERROR_CHECK( esp_wifi_sta_wpa2_ent_set_username((uint8_t *)EXAMPLE_EAP_USERNAME,
1125 strlen(EXAMPLE_EAP_USERNAME)) );
1126     ESP_ERROR_CHECK( esp_wifi_sta_wpa2_ent_set_password((uint8_t *)EXAMPLE_EAP_PASSWORD,
1127 strlen(EXAMPLE_EAP_PASSWORD)) );
1128 #endif /* CONFIG_EXAMPLE_EAP_METHOD_PEAP || CONFIG_EXAMPLE_EAP_METHOD_TTLS */
1129
1130 #if defined CONFIG_EXAMPLE_EAP_METHOD_TTLS
1131     ESP_ERROR_CHECK( esp_wifi_sta_wpa2_ent_set_ttls_phase2_method(TTLS_PHASE2_METHOD) );
1132 #endif /* CONFIG_EXAMPLE_EAP_METHOD_TTLS */
1133 #if defined (CONFIG_EXAMPLE_WPA3_192BIT_ENTERPRISE)
1134     ESP_LOGI(TAG, "Enabling 192 bit certification");
1135     ESP_ERROR_CHECK(esp_wifi_sta_wpa2_set_suiteb_192bit_certification(true));
1136 #endif
1137     ESP_ERROR_CHECK( esp_wifi_sta_wpa2_ent_enable() );
1138     ESP_ERROR_CHECK( esp_wifi_start() );
1139 }
1140
1141 static void wpa2_enterprise_example_task(void *pvParameters)
1142 {
1143     while(1)
1144     {
1145         if(salvar==1)
1146         {
1147             ESP_ERROR_CHECK(esp_timer_stop(periodic_timer));
1148             fclose(arquivo);
1149             char string[100];
1150             FILE* f = fopen("/spiffs/dados.txt", "a"); //abre o arquivo
1151             arquivo = f;
1152             if (f == NULL)
1153             {
1154                 ESP_LOGE("FILE", "Failed to open file for writing");
1155                 //esp_restart();
1156                 fclose(arquivo);
1157                 //return;
1158             }
1159             else
1160             {
1161                 sprintf(string,"%x/%x/%x;%i:%i:%i;%f;%f;\n",Dia, Mes, Ano, Horas, Minutos,
1162 Segundos,MaiorCorrente,consumo); //Separar dados com ;
1163                 fprintf(f,string);
1164                 fclose(f);
1165             }
1166             consumo = 0;
1167             MaiorCorrente=0;
1168             struct stat st;
1169             if (stat("/spiffs/dados.txt", &st) == 0) {
1170                 ESP_LOGI("FILE", "Reading file");
1171                 FILE* f = fopen("/spiffs/dados.txt", "r");
1172                 arquivo = f;

```

```

1173         if (f == NULL) {
1174             ESP_LOGE("FILE", "Failed to open file for reading");
1175             fclose(arquivo);
1176         }
1177         else
1178         {
1179             char bufferler[100];
1180             while(fgets(bufferler, sizeof(bufferler), f) != NULL)
1181             {
1182                 printf(bufferler);
1183                 printf("\n");
1184             }
1185             fclose(f);
1186         }
1187     }
1188     ESP_ERROR_CHECK(esp_timer_start_periodic(periodic_timer, 1*1000000));
1189     salvar=0;
1190 }
1191 if(ConectadoWifi == 2)
1192 {
1193     if(LigarMotor == 1)
1194     {
1195         LigarMotor = 2;
1196         //vTaskDelay(pdMS_TO_TICKS(500));
1197         EnableOperation(LigarMotorSentido);
1198         LerDados(-1);
1199     }
1200     else if(LigarMotor == 0)
1201     {
1202         LigarMotor = 2;
1203         //vTaskDelay(pdMS_TO_TICKS(500));
1204         EnviarShutdown();
1205         LerDados(-1);
1206     }
1207 }
1208 if(ConectadoWifi == 1)
1209 {
1210     ConectadoWifi = 2;
1211     EnviarFaultStateReset();
1212     LerDados(-1);
1213     //vTaskDelay(pdMS_TO_TICKS(5000));
1214     LerStatus();
1215     LerDados(-1);
1216     //vTaskDelay(pdMS_TO_TICKS(500));
1217     /* frequency40(); */
1218     frequency60();
1219     LerDados(-1);
1220     //vTaskDelay(pdMS_TO_TICKS(500));
1221     EnviarShutdown(-1);
1222     LerDados(-1);
1223     //vTaskDelay(pdMS_TO_TICKS(500));
1224     LerStatus();
1225     LerDados(-1);
1226     //vTaskDelay(pdMS_TO_TICKS(500));
1227     EnviarSwitchOn();
1228     LerDados(-1);
1229     //vTaskDelay(pdMS_TO_TICKS(500));
1230     LerStatus();
1231     LerDados(-1);
1232     /* vTaskDelay(pdMS_TO_TICKS(500));
1233     EnableOperation();
1234     LerDados(); */
1235 }
1236 vTaskDelay(pdMS_TO_TICKS(1000));
1237 //float anterior=CorrenteMotor; //pega o valor do registrador antes de ler o registrador
1238 current();
1239 LerDados(0);
1240 //float proximo=CorrenteMotor; //pega o valor depois do registrador estar ligado */
1241 ReadFrequency();

```

```

1242         LerDados(2);
1243         LerStatus();
1244         LerDados(1);
1245     }
1246 }
1247
1248 static void periodic_timer_callback(void* arg)
1249 {
1250     consumo=consumo+220*CorrenteMotor*1.73*1/3600;
1251     static int contador=0;
1252     static int contador2=0;
1253     fclose(arquivo);
1254     contador++;
1255     contador2++;
1256     Segundos=Segundos+1;
1257     if(Segundos>=60)
1258     {
1259         Segundos=0;
1260         Minutos=Minutos+1;
1261     }
1262     if(Minutos>=60)
1263     {
1264         Minutos=0;
1265         Horas=Horas+1;
1266     }
1267     if(contador2==5)
1268     {
1269         contador2=0;
1270         //printf("Estourou o Timmer\n");
1271         for(unsigned int i = 0; i<18;i++)
1272         {
1273             GraficoCorrente[i] = GraficoCorrente[i+1];
1274             GraficoConsumo[i] = GraficoConsumo[i+1];
1275             sprintf(GraficoHorarios[i+1],GraficoHorarios[i+2]);
1276         }
1277         GraficoCorrente[18] = CorrenteMotor;
1278         GraficoConsumo[18] = consumo;
1279         sprintf(GraficoHorarios[18],"\">%i:%i:%i\\"",Horas,Minutos,Segundos);
1280     }
1281
1282     if(contador==5)
1283     {
1284         contador=0;
1285         salvar=1;
1286     }
1287
1288     //printf("%f\n", maiorcorrente);
1289     //uint8_t contador=0;
1290 }
1291
1292 void Init_SPIFFS(void)
1293 {
1294     esp_vfs_spiffs_conf_t conf = {
1295         .base_path = "/spiffs",
1296         .partition_label = NULL,
1297         .max_files = 5,
1298         .format_if_mount_failed = true
1299     };
1300     esp_err_t ret = esp_vfs_spiffs_register(&conf);
1301
1302     if (ret != ESP_OK) {
1303         if (ret == ESP_FAIL) {
1304             ESP_LOGE(TAG, "Failed to mount or format filesystem");
1305         } else if (ret == ESP_ERR_NOT_FOUND) {
1306             ESP_LOGE(TAG, "Failed to find SPIFFS partition");
1307         } else {
1308             ESP_LOGE(TAG, "Failed to initialize SPIFFS (%s)", esp_err_to_name(ret));
1309         }
1310     }

```

```

1311     return;
1312 }
1313 size_t total = 0, used = 0;
1314 ret = esp_spiffs_info(conf.partition_label, &total, &used);
1315 if (ret != ESP_OK) {
1316     ESP_LOGE(TAG, "Failed to get SPIFFS partition information (%s). Formatting...",
1317 esp_err_to_name(ret));
1318     esp_spiffs_format(conf.partition_label);
1319     return;
1320 } else {
1321     ESP_LOGI(TAG, "Partition size: total: %d, used: %d", total, used);
1322 }
1323
1324 // Check consistency of reported partiton size info.
1325 if (used > total) {
1326     ESP_LOGW(TAG, "Number of used bytes cannot be larger than total. Performing SPIFFS_check().");
1327     ret = esp_spiffs_check(conf.partition_label);
1328     // Could be also used to mend broken files, to clean unreferenced pages, etc.
1329     // More info at https://github.com/pellepl/spiffs/wiki/FAQ#powerlosses-contd-when-should-i-run-
1330 spiffs_check
1331     if (ret != ESP_OK) {
1332         ESP_LOGE(TAG, "SPIFFS_check() failed (%s)", esp_err_to_name(ret));
1333         return;
1334     } else {
1335         ESP_LOGI(TAG, "SPIFFS_check() successful");
1336     }
1337 }
1338 }
1339
1340 void app_main(void)
1341 {
1342     for(unsigned int i = 0; i<20;i++)
1343     {
1344         GraficoCorrente[i] = 0;
1345         if(i<19)
1346         {
1347             sprintf(GraficoHorarios[i],"\"00:00:00\"");
1348         }
1349         else{
1350             sprintf(GraficoHorarios[i],"\"\"");
1351         }
1352     }
1353     ESP_ERROR_CHECK( nvs_flash_init() );
1354     ESP_ERROR_CHECK(esp_netif_init());
1355
1356     Init_SPIFFS();
1357
1358     unlink("/spiffs/dados.txt"); //serve pra deletar
1359
1360     const esp_timer_create_args_t periodic_timer_args = { //isso configura o periférico
1361         .callback = &periodic_timer_callback,
1362         /* name is optional, but may help identify the timer when debugging */
1363         .name = "periodic"
1364     };
1365     //esp_timer_handle_t periodic_timer;
1366     ESP_ERROR_CHECK(esp_timer_create(&periodic_timer_args, &periodic_timer)); //criar o timer
1367
1368     ESP_ERROR_CHECK(esp_timer_start_periodic(periodic_timer, 1*100000)); //inicia
1369
1370     uint8_t data[3];
1371     ESP_ERROR_CHECK(i2c_master_init());
1372     ESP_LOGI(TAG, "I2C initialized successfully");
1373
1374     //mpu9250_register_write_byte(0x00, 0x20); //define os segundos // não apagar, usado na primeira vez
1375     //mpu9250_register_write_byte(0x01, 0x25); //define as minutos
1376     //mpu9250_register_write_byte(0x02, 0x16); //define as horas
1377     //mpu9250_register_write_byte(0x04, 0x30); //define o dia
1378     //mpu9250_register_write_byte(0x05, 0x09); //define o mês
1379     //mpu9250_register_write_byte(0x06, 0x22); //define o ano

```



```

1380 ESP_ERROR_CHECK(mpu9250_register_read(0x00, data, 3));
1381
1382 //ESP_LOGI(TAG, "WHO_AM_I = %X", data[0]);
1383 for(unsigned int i=0;i<3;i++)
1384 {
1385     if(i==0)
1386     {
1387         ESP_LOGI(TAG, "Segundos = %X", data[i]); //printa os 3
1388     }
1389     if(i==1)
1390     {
1391         ESP_LOGI(TAG, "Minutos = %X", data[i]); //printa os 3
1392     }
1393     if(i==2)
1394     {
1395         ESP_LOGI(TAG, "Horas = %X", data[i]); //printa os 3
1396     }
1397 }
1398 float segundos = data[0];
1399 float minutos = data[1];
1400 float horas = data[2];
1401 Segundos = ((uint8_t)(segundos/16)*10)+(uint8_t)((((segundos/16)-(uint8_t)(segundos/16))*16);
1402 Minutos = ((uint8_t)(minutos/16)*10)+(uint8_t)((((minutos/16)-(uint8_t)(minutos/16))*16);
1403 Horas = ((uint8_t)(horas/16)*10)+(uint8_t)((((horas/16)-(uint8_t)(horas/16))*16);
1404
1405 ESP_ERROR_CHECK(mpu9250_register_read(0x04, data, 3));
1406
1407 for(unsigned int i=0;i<3;i++)
1408 {
1409     if(i==0)
1410     {
1411         ESP_LOGI(TAG, "Dia = %X", data[i]); //printa os 3
1412     }
1413     if(i==1)
1414     {
1415         ESP_LOGI(TAG, "Mês = %X", data[i]); //printa os 3
1416     }
1417     if(i==2)
1418     {
1419         ESP_LOGI(TAG, "Ano = %X", data[i]); //printa os 3
1420     }
1421 }
1422 Dia = data[0];
1423 Mes = data[1];
1424 Ano = data[2];
1425 //Check if Two Point or Vref are burned into eFuse
1426 check_efuse();
1427
1428 //Configure ADC
1429 if (unit == ADC_UNIT_1) {
1430     adc1_config_width(width);
1431     adc1_config_channel_atten(channel, atten);
1432 } else {
1433     adc2_config_channel_atten((adc2_channel_t)channel, atten);
1434 }
1435
1436 //Characterize ADC
1437 adc_chars = calloc(1, sizeof(esp_adc_cal_characteristics_t));
1438 esp_adc_cal_value_t val_type = esp_adc_cal_characterize(unit, atten, width, DEFAULT_VREF,
1439 adc_chars);
1440 print_char_val_type(val_type);
1441
1442 // Set UART log level
1443 esp_log_level_set("UART", ESP_LOG_INFO);
1444
1445 ESP_LOGI("UART", "Start RS485 application test and configure UART.");
1446
1447 // Install UART driver (we don't need an event queue here)
1448 // In this example we don't even use a buffer for sending data.

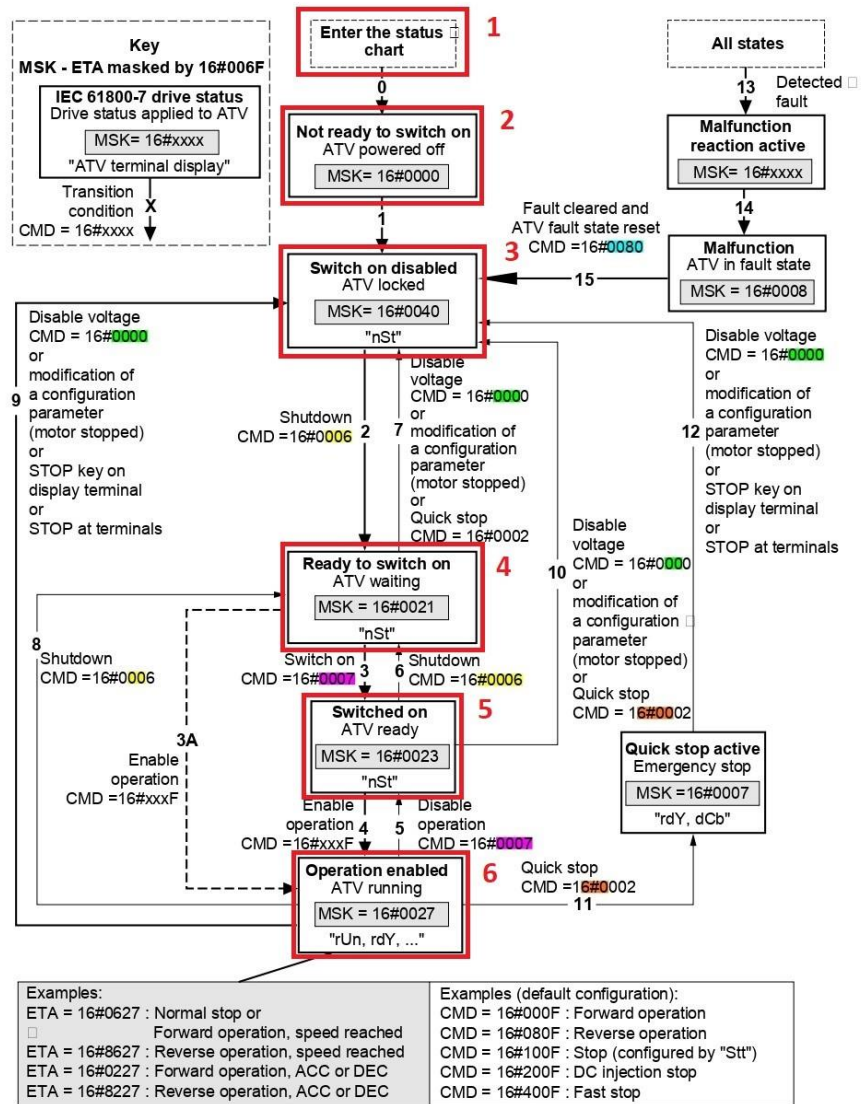
```

```
1449     ESP_ERROR_CHECK(uart_driver_install(uart_num, BUF_SIZE * 2, 0, 0, NULL, 0));
1450
1451     // Configure UART parameters
1452     ESP_ERROR_CHECK(uart_param_config(uart_num, &uart_config));
1453
1454     ESP_LOGI("UART", "UART set pins, mode and install driver.");
1455
1456     // Set UART pins as per KConfig settings
1457     ESP_ERROR_CHECK(uart_set_pin(uart_num, ECHO_TEST_TXD, ECHO_TEST_RXD, ECHO_TEST_RTS,
1458 ECHO_TEST_CTS));
1459
1460     // Set RS485 half duplex mode
1461     ESP_ERROR_CHECK(uart_set_mode(uart_num, UART_MODE_RS485_HALF_DUPLEX));
1462
1463     // Set read timeout of UART TOUT feature
1464     ESP_ERROR_CHECK(uart_set_rx_timeout(uart_num, ECHO_READ_TOUT));
1465
1466     //ESP_ERROR_CHECK(esp_event_loop_create_default());
1467     if(MODOWIFI == 1)
1468     {
1469         initialise_wifi();
1470         xTaskCreate(&wpa2_enterprise_example_task, "wpa2_enterprise_example_task", 4096, NULL, 5,
1471 NULL);
1472         vTaskPrioritySet( wpa2_enterprise_example_task, tskIDLE_PRIORITY + 2);
1473     }
1474     else
1475     {
1476         wifi_init_sta();
1477         xTaskCreate(&wpa2_enterprise_example_task, "wpa2_enterprise_example_task", 4096, NULL, 5,
1478 NULL);
1479         vTaskPrioritySet( wpa2_enterprise_example_task, tskIDLE_PRIORITY + 2);
1480     }
1481 }
1482 }
```

ANEXO A – Fluxogram para acionamento do inversor de frequência

Figura 23 – Página 10 do manual

IEC 61800-7 status chart



Exiting the "Operation enabled" status via a "Disable voltage" (9) or "Shutdown" (8) command causes a freewheel stop.

Fonte: Adaptado de Schneider (2009a)

ANEXO B – Funções Modbus Inversor de Frequência

Figura 24 – Funções Modbus inversor de frequência

Code (decimal)	Function name	Broadcasting	Max. value of N	Modbus standard name
3	Read N output words	NO	29 words max.	Read Holding Registers
6	Write one output word	YES	–	Preset Single Register
16	Write N output words	YES	27 words max.	Preset Multiple Regs
43	Identification	NO	–	Read Device Identification

Fonte: Schneider (2009b)

B.1 Supervisão e controle em modo de linha

Figura 25 – Dados das Funções Modbus inversor de frequência

CMD control word (W8501)

bit 7	bit 6	bit 5	bit 4	bit 3	bit 2	bit 1	bit 0
Fault state reset	0	0	0	Enable operation	Quick stop (active at 0)	Enable voltage	Switch on
bit 15	bit 14	bit 13	bit 12	bit 11	bit 10	bit 9	bit 8
(1)	(1)	(1)	(1)	(1)	0	0	0

(1) This bit action depends on the LAC "Access levels" parameter and the functions configured by the user.
For example, to use bit 15 to switch the ramp, simply configure LAC = L3 (Access to advanced functions and management of mixed modes) and set the "Ramp switching rPS" configuration parameter to Cd15.

Command	Transition address	Final state	bit 7	bit 3	bit 2	bit 1	bit 0	Typical value of CMD (W8501)
			Reset	Enable operation	Quick stop	Enable voltage	Switch on	
Shut down	2, 6, 8	Ready to switch on	x	x	1	1	0	16#0006
Switch on	3	Switched on	x	x	1	1	1	16#0007
Enable operation	4	Operation enabled	x	1	1	1	1	16#000F
Disable operation	5	Switched on	x	0	1	1	1	16#0007
Disable voltage	7, 9, 10, 12	Switch on disabled	x	x	x	0	x	16#0000
Quick stop	11	Quick stop active	x	x	0	1	x	16#0002
	7, 10	Switch on disabled						
Fault state reset	15	Switch on disabled	0 → 1	x	x	x	x	16#0080

x: State not significant
0 → 1: Change from 0 to 1

Fonte: Schneider (2009a)

ANEXO C – Status Inversor de Frequência

Figura 26 – Eta Status Inversor de frequência

ETA status word (W3201)

bit 7	bit 6	bit 5	bit 4	bit 3	bit 2	bit 1	bit 0
Alarm	Switch on disabled	Quick stop active at 0	0	Malfunction	Operation enabled	Switched on	Ready to switch on
bit 15	bit 14	bit 13	bit 12	bit 11	bit 10	bit 9	bit 8
Direction of rotation	Stop via STOP key	0	0	Reference exceeded	Reference reached	Forced local mode (active at 0)	0

State	bit 6	bit 5	bit 3	bit 2	bit 1	bit 0	MSK = ETA (W3201) masked by 16#006F
	Switch on disabled	Quick stop	Malfunction	Operation enabled	Switched on	Ready to switch on	
Not ready to switch on	0	x	0	0	0	0	16#0000 16#0020
Switch on disabled	1	x	0	0	0	0	16#0040 16#0060
Ready to switch on	0	1	0	0	0	1	16#0021
Switched on	0	1	0	0	1	1	16#0023
Operation enabled	0	1	0	1	1	1	16#0027
Malfunction	0	x	1	0	0	0	16#0008 16#0028
Malfunction reaction active	0	x	1	1	1	1	16#000F 16#002F
Quick stop active	0	0	0	1	1	1	16#0007

x: State not significant

Fonte: Schneider (2009a)

C.1 Status Word

Figura 27 – Registrador de Status inversor de frequência

Modbus address	CANopen address	Code	Read/Write	Name/Description/Possible values
3201	2002 / 2	ETA	R	Status word bit 0: Ready to switch on bit 1: Switched on bit 2: Operation enabled bit 3 = 0: No detected fault bit 3 = 1: Malfunction, detected fault (FAI) bit 4: Voltage disabled (still equals 0) bit 5: Quick stop bit 6: Switch on disabled bit 7 = 0: No alarm bit 7 = 1: Alarm present bit 8: Reserved bit 9 = 0: Forced local mode in progress (FLO) bit 9 = 1: No forced local mode bit 10 = 0: Reference not reached (transient state) bit 10 = 1: Reference reached (steady state) bit 11 = 0: LFRD reference normal bit 11 = 1: LFRD reference exceeded (< LSP or > HSP) Note: LFRD is expressed in rpm, LSP and HSP in Hz bits 12 and 13: Reserved bit 14 = 0: No stop imposed by STOP key on built-in keypad or on the remote display terminal bit 14 = 1: Stop imposed by STOP key on built-in keypad or on the remote display terminal bit 15 = 0: Forward rotation (output frequency) bit 15 = 1: Reverse rotation (output frequency)

DATA 4

DATA 3

Fonte: Adaptado de Schneider (2009a)